



Петербургский институт ядерной физики  
им. Б.П. Константинова  
НИЦ «Курчатовский институт»



# НОВЫЙ МЕТОД ОПИСАНИЯ СПИНОВОЙ ДИНАМИКИ В МАГНЕТИКАХ СО СПИНОМ $1/2$

А.В. Сыромятников

- **Мотивация:** трудности с описанием коротковолновой спиновой динамики в двумерных системах со спином  $1/2$
- **Основные идеи** метода кластерного представления спиновых операторов (КПСО)
- Применение КПСО к неколлинеарным системам
  - ✓ **Антиферромагнетик со спином  $1/2$  на квадратной решетке в сильном поле**
    - Новые элементарные возбуждения
    - Согласие с численными расчетами
  - ✓ **Антиферромагнетик со спином  $1/2$  на треугольной решетке в поле и без него**
    - Новые элементарные возбуждения
    - Согласие с нейтронным экспериментом

# МОТИВАЦИЯ

- Длинноволновая (низкоэнергетическая) спиновая динамика в упорядоченных фазах хорошо описывается множеством разных теоретических методов

Самый известный подход – спин-волновая теория (1/S-разложение)

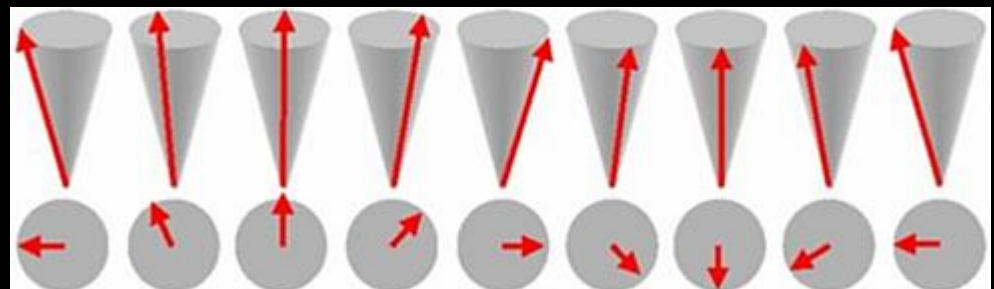
Преобразование Голдстейна-Примакова

$$S_i^- = a_i^\dagger \sqrt{2S - a_i^\dagger a_i}$$

$$S_i^+ = \sqrt{2S - a_i^\dagger a_i} a_i$$

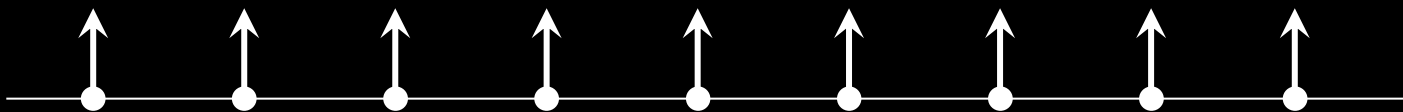
$$S_i^z = S - a_i^\dagger a_i \quad S \gg 1$$

СПИНОВАЯ ВОЛНА (МАГНОН)

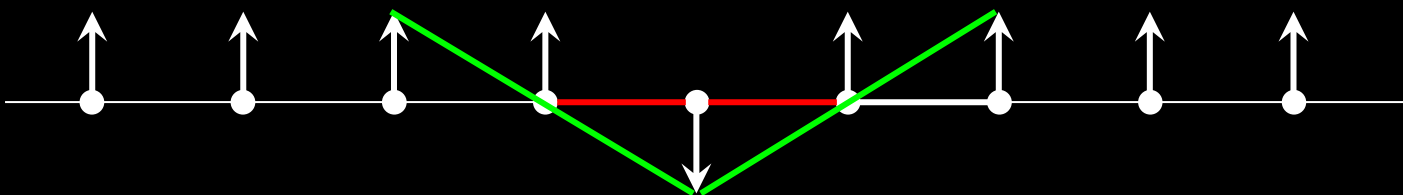


# ВОЗБУЖДЕННЫЕ СОСТОЯНИЯ В ЦЕПОЧКЕ СПИНОВ 1/2 ПРИ $H \gtrsim H_S$

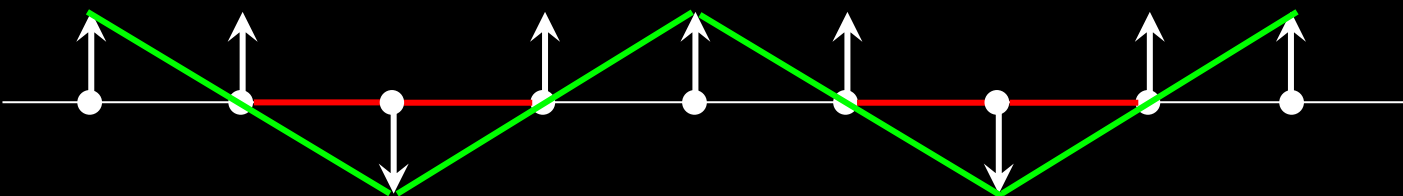
$$\mathcal{H} = \sum_j \left( -\mathbf{S}_j \mathbf{S}_{j+1} + J \mathbf{S}_j \mathbf{S}_{j+2} \right) - H \sum_j \mathbf{S}_j$$



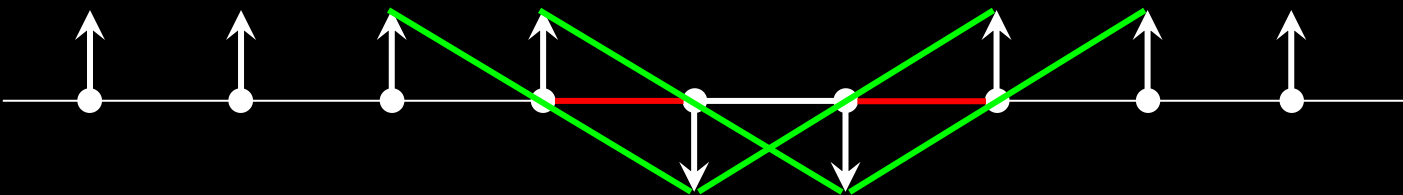
Основное  
состояние  
 $E=0$



Магنون  
 $E=\epsilon_k$



2 магнона  
 $E=\epsilon_{k1} + \epsilon_{k2}$



СВЯЗАННОЕ  
СОСТОЯНИЕ  
 $E=\epsilon_k$

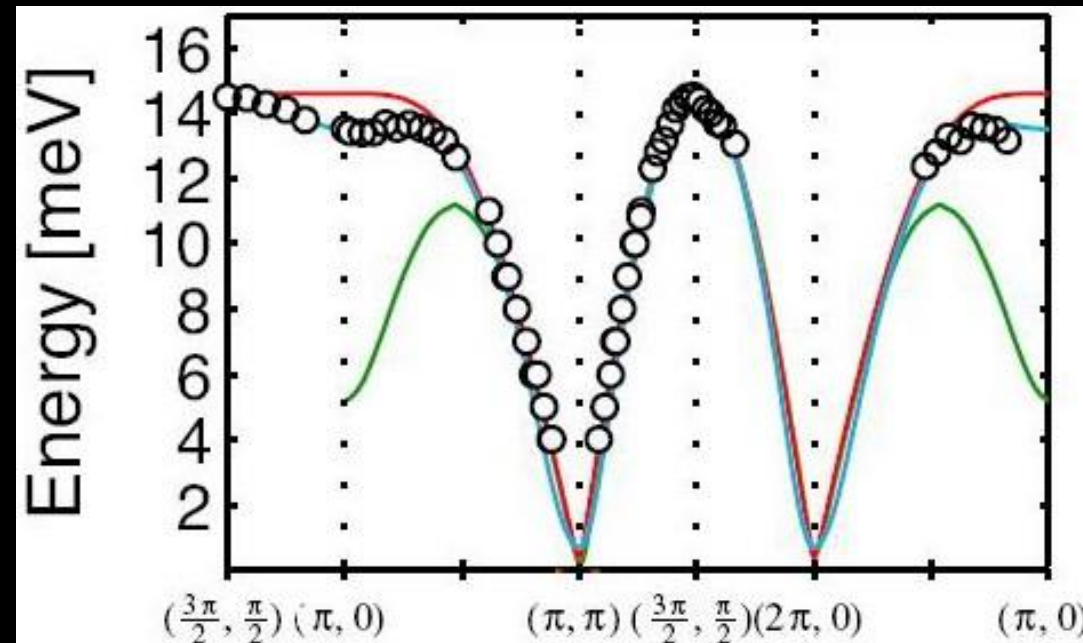
# 1/S-РАЗЛОЖЕНИЕ

Очень часто можно ограничиться первыми поправками 1/S-разложения даже в 2D антиферромагнетике

$$\frac{\nu}{\nu^{(0)}} = 1 + \frac{0.158}{2S} + \frac{0.0215}{(2S)^2}$$

$$\frac{\chi_{\perp}}{\chi_{\perp}^{(0)}} = 1 - \frac{0.551}{2S} + \frac{0.065}{(2S)^2}$$

$$\langle S_i^z \rangle = S - 0.2 + \frac{0.0035}{(2S)^2}$$



# МОТИВАЦИЯ

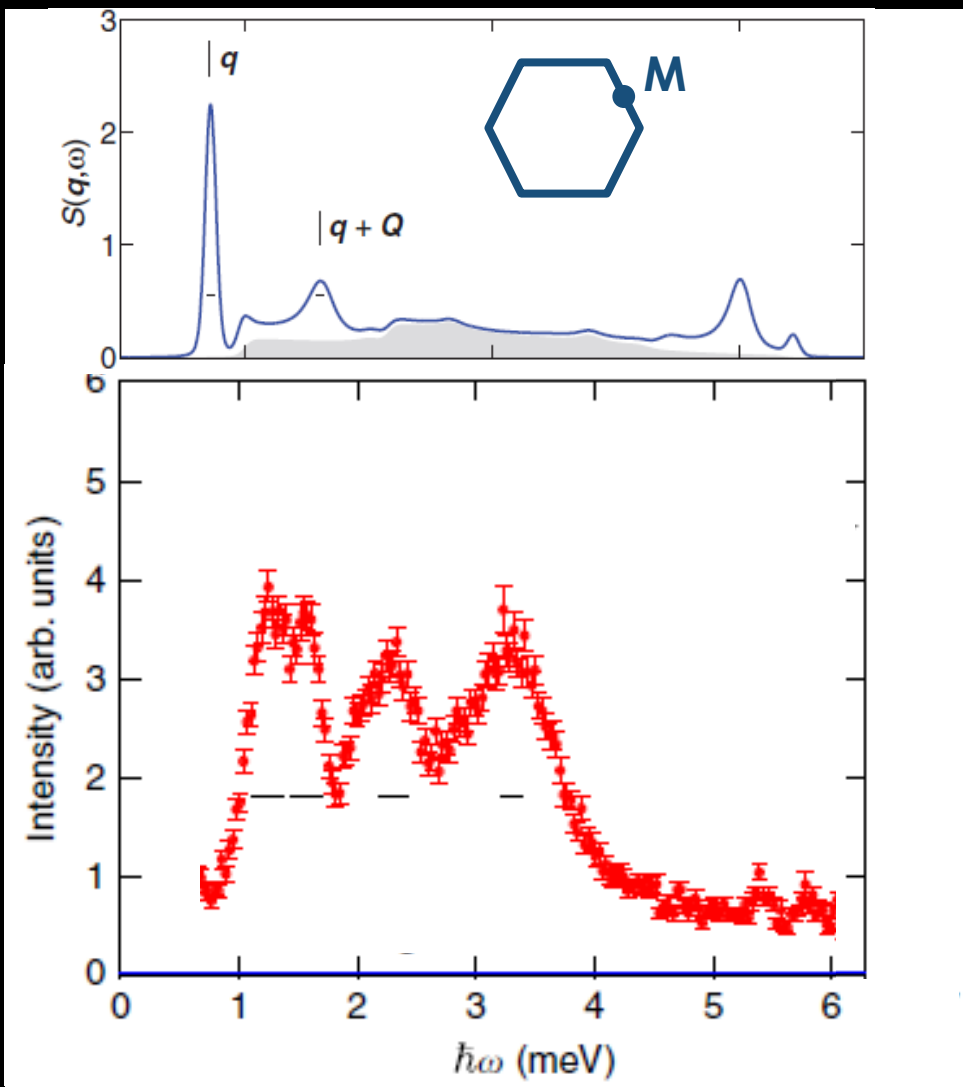
Однако

- В некоторых случаях стандартные подходы даже качественно не описывают коротковолновую спиновую динамику в 2D антиферромагнетиках со спином  $1/2$

Кроме того

- Отсутствуют удобные методы исследования элементарных возбуждений (квазичастиц), известных как связанные состояния простых квазичастиц (магнонов, триплетов и т.д.)

# АНТИФЕРРОМАГНЕТИК СО СПИНОМ 1/2 НА ТРЕУГОЛЬНОЙ РЕШЕТКЕ



Предсказания  
СПИН-ВОЛНОВОЙ  
теории

M. Mourigal et al., PRB **88**, 094407 (2013)

Нейтронный  
эксперимент в  
 $\text{Ba}_3\text{CoSb}_2\text{O}_9$

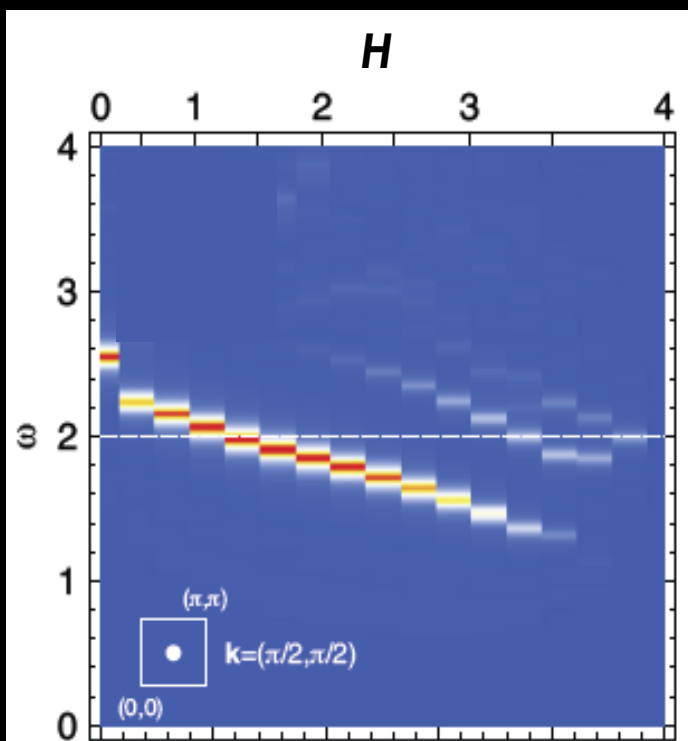
S. Ito et al.,  
Nature Communications **8**, 235 (2017)

# АНТИФЕРРОМАГНЕТИК СО СПИНОМ 1/2 НА КВАДРАТНОЙ РЕШЕТКЕ В ПОЛЕ



Спин-волновая теория предсказывает полное исчезновение коротковолновых магнонов при  $3.8 < H < H_s = 4$

$$J=1$$



M. Zhitomirsky and A. Chernyshev, PRL **82**, 4536 (1999)

Точная  
диагонализация  
конечных кластеров

A. Luscher and A. Lauchli, PRB **79**, 195102 (2009)

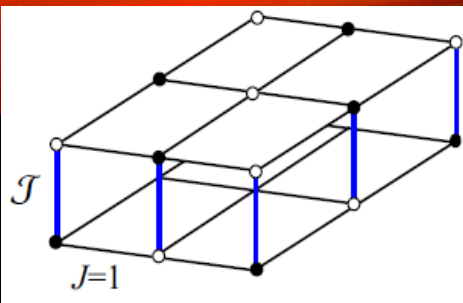


# МЕТОД КЛАСТЕРНОГО ПРЕДСТАВЛЕНИЯ СПИНОВЫХ ОПЕРАТОРОВ

## ОСНОВНАЯ ИДЕЯ

Учесть все спиновые степени свободы в магнитной элементарной ячейке при помощи подходящего бозонного представления спиновых операторов в надежде более точно описать коротковолновые корреляции

# ДВА СПИНА В ЭЛЕМ. ЯЧЕЙКЕ



$$|0\rangle = \cos \alpha |\uparrow\downarrow\rangle - \sin \alpha |\downarrow\uparrow\rangle$$

$$a_j^\dagger |0\rangle = |a\rangle = |\uparrow\uparrow\rangle$$

$$b_j^\dagger |0\rangle = |b\rangle = |\downarrow\downarrow\rangle$$

$$c_j^\dagger |0\rangle = |c\rangle = \sin \alpha |\uparrow\downarrow\rangle + \cos \alpha |\downarrow\uparrow\rangle$$

$$S_{1j}^+ = -a_j^\dagger \sin \alpha + b_j \cos \alpha + c_j^\dagger b_j \sin \alpha + a_j^\dagger c_j \cos \alpha$$

$$S_{2j}^+ = a_j^\dagger \cos \alpha - b_j \sin \alpha + c_j^\dagger b_j \cos \alpha + a_j^\dagger c_j \sin \alpha$$

$$S_{1j}^z = \frac{\cos 2\alpha}{2} + \frac{\sin 2\alpha}{2} (c_j + c_j^\dagger) + a_j^\dagger a_j \sin^2 \alpha - b_j^\dagger b_j \cos^2 \alpha - c_j^\dagger c_j \cos 2\alpha$$

$$S_{2j}^z = -\frac{\cos 2\alpha}{2} - \frac{\sin 2\alpha}{2} (c_j + c_j^\dagger) + a_j^\dagger a_j \cos^2 \alpha - b_j^\dagger b_j \sin^2 \alpha + c_j^\dagger c_j \cos 2\alpha$$

$$(\mathbf{S}_{1j} \mathbf{S}_{2j}) = -\frac{1 + 2 \sin 2\alpha}{4} + \frac{\cos 2\alpha}{2} (c_j + c_j^\dagger) + \frac{1 + \sin 2\alpha}{2} (a_j^\dagger a_j + b_j^\dagger b_j) + c_j^\dagger c_j \sin 2\alpha$$

$\alpha = \pi/4$  – неупорядоченная фаза

$\alpha \neq \pi/4$  – упорядоченная фаза

Коммутационная алгебра НЕ воспроизводится

# ДВА СПИНА В ЭЛЕМ. ЯЧЕЙКЕ

$$S_{1j}^+ = -a_j^\dagger P_j \sin \alpha + P_j b_j \cos \alpha + c_j^\dagger b_j \sin \alpha + a_j^\dagger c_j \cos \alpha$$

$$S_{2j}^+ = a_j^\dagger P_j \cos \alpha - P_j b_j \sin \alpha + c_j^\dagger b_j \cos \alpha + a_j^\dagger c_j \sin \alpha$$

$$S_{1j}^z = \frac{\cos 2\alpha}{2} + \frac{\sin 2\alpha}{2} (P_j c_j + c_j^\dagger P_j) + a_j^\dagger a_j \sin^2 \alpha - b_j^\dagger b_j \cos^2 \alpha - c_j^\dagger c_j \cos 2\alpha$$

$$S_{2j}^z = -\frac{\cos 2\alpha}{2} - \frac{\sin 2\alpha}{2} (P_j c_j + c_j^\dagger P_j) + a_j^\dagger a_j \cos^2 \alpha - b_j^\dagger b_j \sin^2 \alpha + c_j^\dagger c_j \cos 2\alpha$$

$$(\mathbf{S}_{1j} \mathbf{S}_{2j}) = -\frac{1 + 2 \sin 2\alpha}{4} + \frac{\cos 2\alpha}{2} (P_j c_j + c_j^\dagger P_j) + \frac{1 + \sin 2\alpha}{2} (a_j^\dagger a_j + b_j^\dagger b_j) + c_j^\dagger c_j \sin 2\alpha$$

$$P_j = \sqrt{1 - a_j^\dagger a_j - b_j^\dagger b_j - c_j^\dagger c_j}$$

Коммутационная алгебра воспроизводится при  
любых  $\alpha$

# ДВА СПИНА В ЭЛЕМ. ЯЧЕЙКЕ

$$S_{1j}^+ = -a_j^\dagger P_j \sin \alpha + P_j b_j \cos \alpha + c_j^\dagger b_j \sin \alpha + a_j^\dagger c_j \cos \alpha$$

$$S_{2j}^+ = a_j^\dagger P_j \cos \alpha - P_j b_j \sin \alpha + c_j^\dagger b_j \cos \alpha + a_j^\dagger c_j \sin \alpha$$

$$S_{1j}^z = n \frac{\cos 2\alpha}{2} + \frac{\sin 2\alpha}{2} (P_j c_j + c_j^\dagger P_j) + a_j^\dagger a_j \sin^2 \alpha - b_j^\dagger b_j \cos^2 \alpha - c_j^\dagger c_j \cos 2\alpha$$

$$S_{2j}^z = -n \frac{\cos 2\alpha}{2} - \frac{\sin 2\alpha}{2} (P_j c_j + c_j^\dagger P_j) + a_j^\dagger a_j \cos^2 \alpha - b_j^\dagger b_j \sin^2 \alpha + c_j^\dagger c_j \cos 2\alpha$$

$$\frac{1}{n} (\mathbf{S}_{1j} \mathbf{S}_{2j}) = -n \frac{1 + 2 \sin 2\alpha}{4} + \frac{\cos 2\alpha}{2} (P_j c_j + c_j^\dagger P_j) + \frac{1 + \sin 2\alpha}{2} (a_j^\dagger a_j + b_j^\dagger b_j) + c_j^\dagger c_j \sin 2\alpha$$

$$P_j = \sqrt{n - a_j^\dagger a_j - b_j^\dagger b_j - c_j^\dagger c_j}$$

$n$  – максимальное число бозонов в элем. ячейке

Коммутационная алгебра воспроизводится при любых  $\alpha$  и  $n > 0$

# СРАВНЕНИЕ С ПРЕДСТАВЛЕНИЕМ ГОЛДСТЕЙНА-ПРИМАКОВА

$$S_{1j}^+ = -a_j^\dagger P_j \sin \alpha + P_j b_j \cos \alpha + c_j^\dagger b_j \sin \alpha + a_j^\dagger c_j \cos \alpha$$

1/n разложение

$$S_{2j}^+ = a_j^\dagger P_j \cos \alpha - P_j b_j \sin \alpha + c_j^\dagger b_j \cos \alpha + a_j^\dagger c_j \sin \alpha$$

$$S_{1j}^z = n \frac{\cos 2\alpha}{2} + \frac{\sin 2\alpha}{2} (P_j c_j + c_j^\dagger P_j) + a_j^\dagger a_j \sin^2 \alpha - b_j^\dagger b_j \cos^2 \alpha - c_j^\dagger c_j \cos 2\alpha$$

$$S_{2j}^z = -n \frac{\cos 2\alpha}{2} - \frac{\sin 2\alpha}{2} (P_j c_j + c_j^\dagger P_j) + a_j^\dagger a_j \cos^2 \alpha - b_j^\dagger b_j \sin^2 \alpha + c_j^\dagger c_j \cos 2\alpha$$

$$\frac{1}{n} (S_{1j} S_{2j}) = -n \frac{1 + 2 \sin 2\alpha}{4} + \frac{\cos 2\alpha}{2} (P_j c_j + c_j^\dagger P_j) + \frac{1 + \sin 2\alpha}{2} (a_j^\dagger a_j + b_j^\dagger b_j) + c_j^\dagger c_j \sin 2\alpha$$

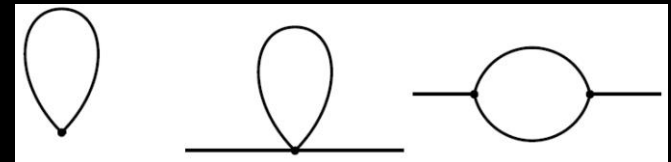
$$P_j = \sqrt{n - a_j^\dagger a_j - b_j^\dagger b_j - c_j^\dagger c_j}$$

$$S_j^+ = P_j a_j$$

$$S_j^z = S - a_j^\dagger a_j$$

$$P_j = \sqrt{2S - a_j^\dagger a_j}$$

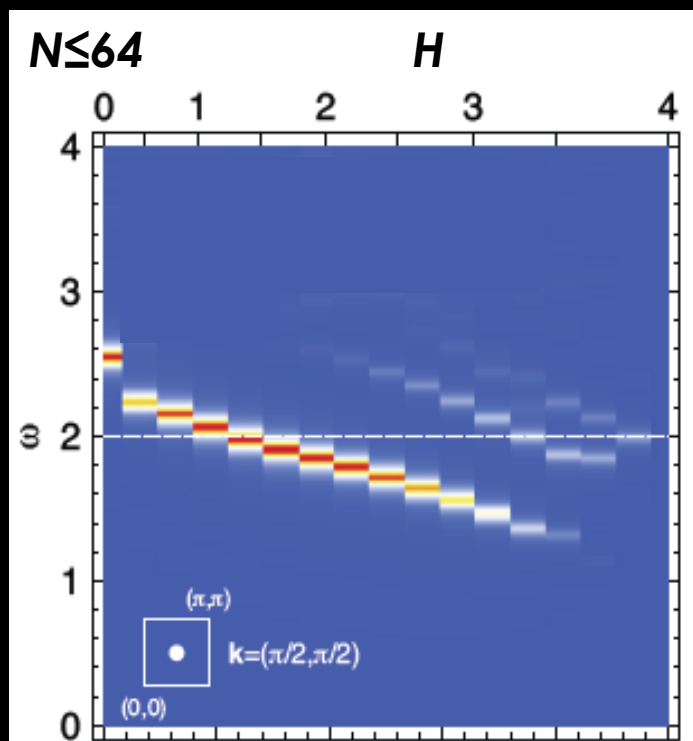
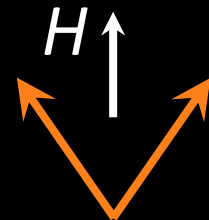
1/S разложение



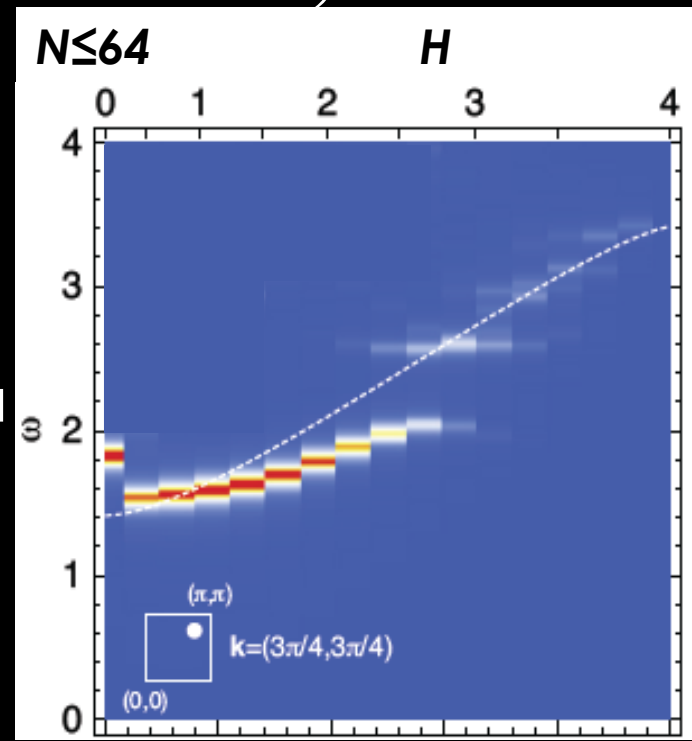
# Антиферромагнетик со спином 1/2 на квадратной решетке в поле

$$\mathcal{H} = \sum_{\langle ij \rangle} \mathbf{S}_i \mathbf{S}_j - H \sum_i S_i^z \quad H_s = 4$$

$$S^{zz}(\mathbf{k}, \omega) = \text{Im} \left( i \int_0^{\infty} dt e^{i\omega t} \langle [S_{\mathbf{k}}^z(t), S_{-\mathbf{k}}^z(0)] \rangle \right)$$



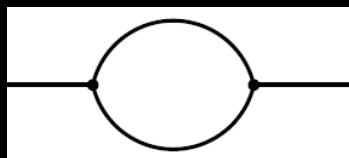
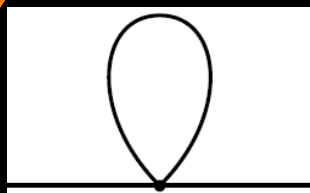
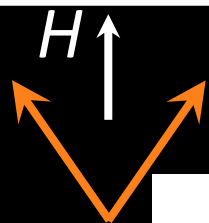
Точная  
 диагонализация  
 конечных  
 кластеров



## Instability of Antiferromagnetic Magnons in Strong Fields

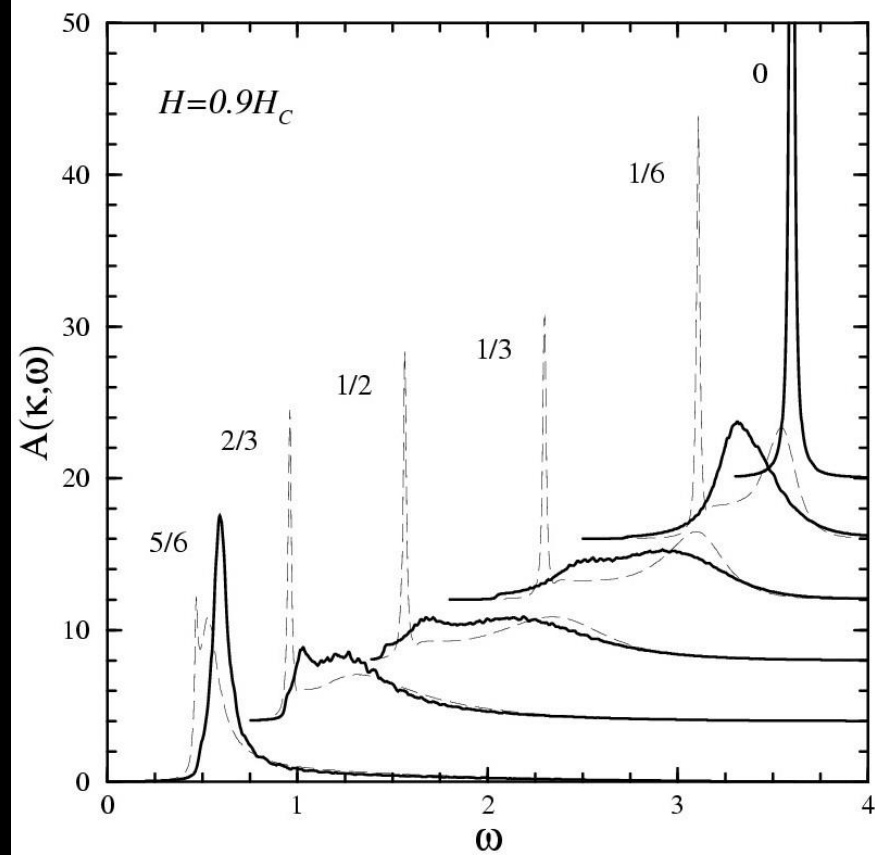
M. E. Zhitomirsky<sup>1,2</sup> and A. L. Chernyshev<sup>3,\*</sup>

$$\mathcal{H} = \frac{1}{2} \sum_{i,j} J_{ij} \mathbf{S}_i \mathbf{S}_j - H \sum_i S_i^z$$



Магноны неустойчивы  
почти во всей зоне  
Бриллюэна при  
 $0.76H_s < H < H_s$

$$\mathbf{k} = \xi \mathbf{k}_0 = \xi(\pi, \pi)$$



# Антиферромагнетик в сильном поле

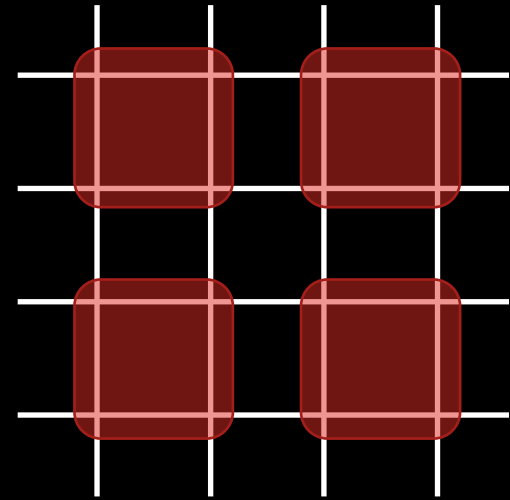
## Четырехспиновое КПСО

$2^4 - 1 = 15$  бозонов:

4 бозона – обычные магноны при  $H \ll H_s$  и  $H \geq H_s$

9 бозонов – высокоэнергетические сильно затухающие возбуждения

2 бозона – “немагнонная” мода, происходящая от моды Хиггса при  $H=0$



Много новых полюсов в первом порядке по  $1/n$

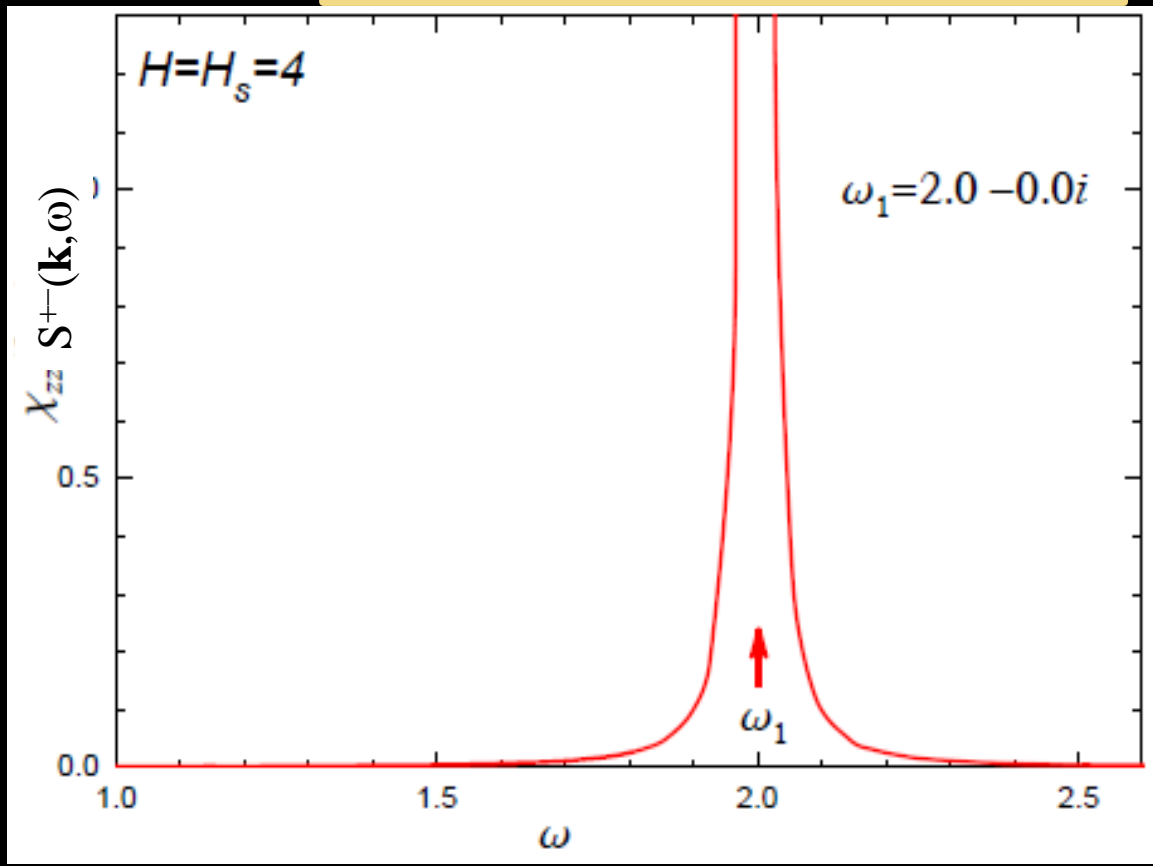
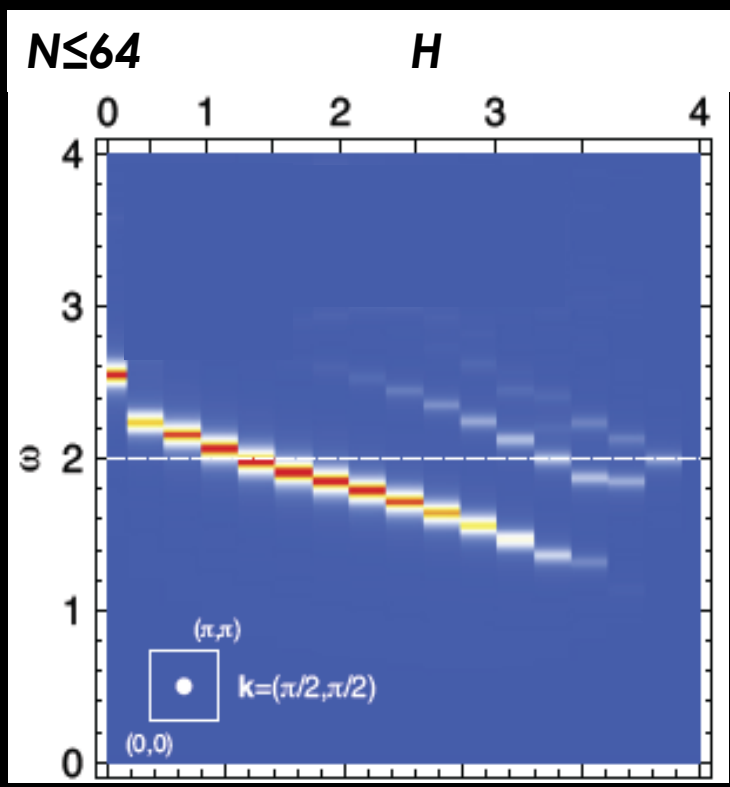
$$D(\mathbf{k}, \omega, \{\Sigma(\mathbf{k}, \omega)\}) = 0$$



# Антиферромагнетик в сильном поле

$$S^{zz}(\mathbf{k}, \omega) = \text{Im} \left( i \int_0^{\infty} dt e^{i\omega t} \langle [S_{\mathbf{k}}^z(t), S_{-\mathbf{k}}^z(0)] \rangle \right)$$

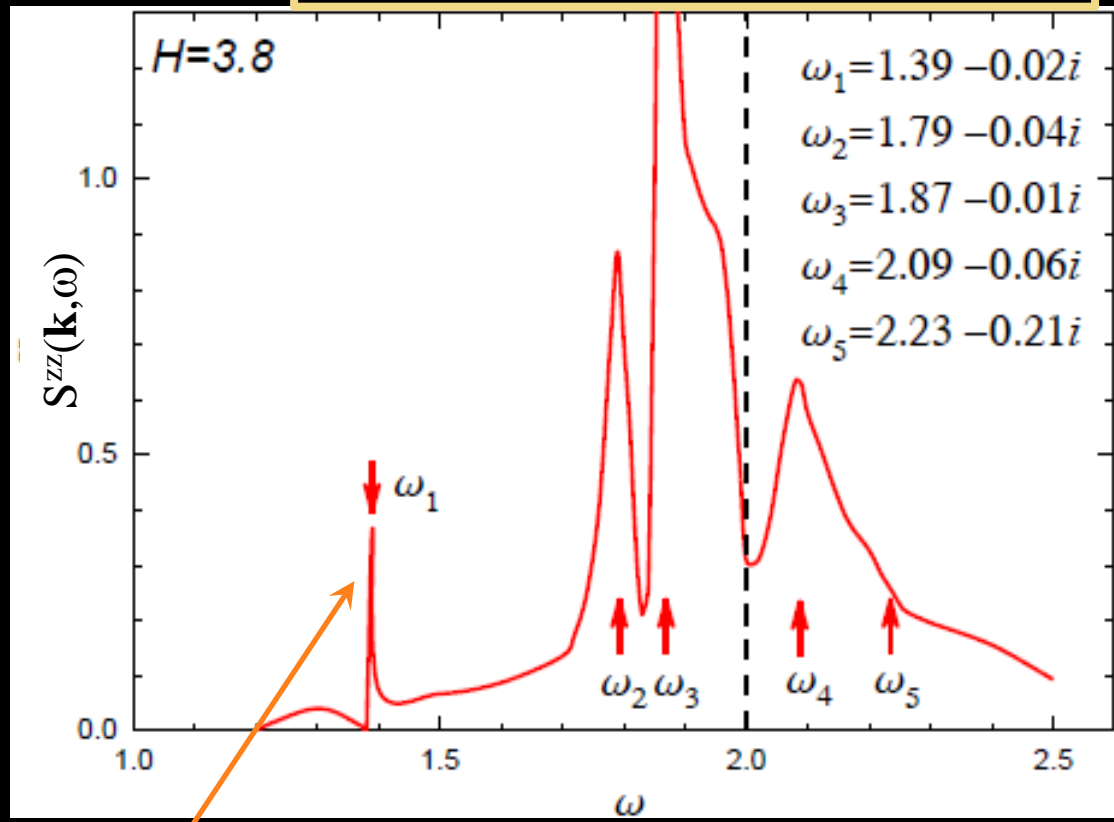
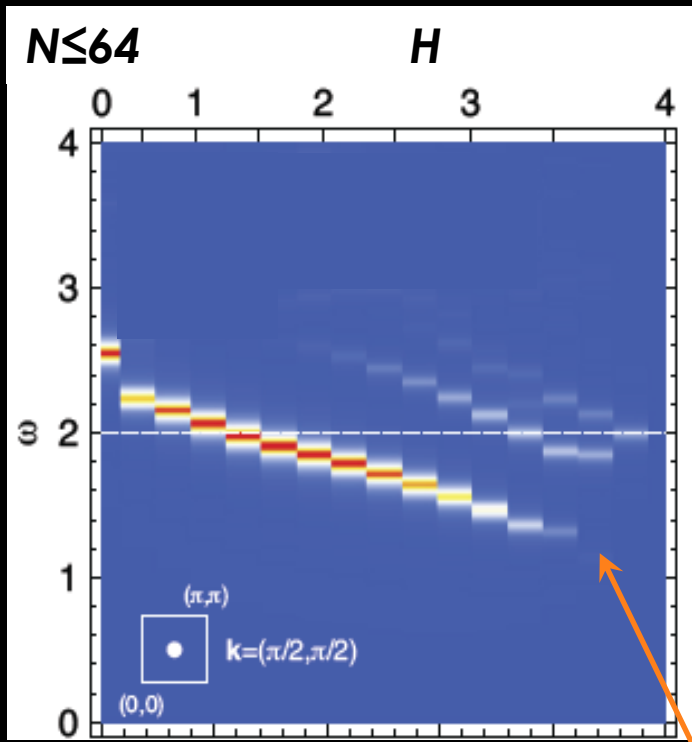
Первый порядок по  $1/n$



# Антиферромагнетик в сильном поле

$$S^{zz}(\mathbf{k}, \omega) = \text{Im} \left( i \int_0^{\infty} dt e^{i\omega t} \langle [S_{\mathbf{k}}^z(t), S_{-\mathbf{k}}^z(0)] \rangle \right)$$

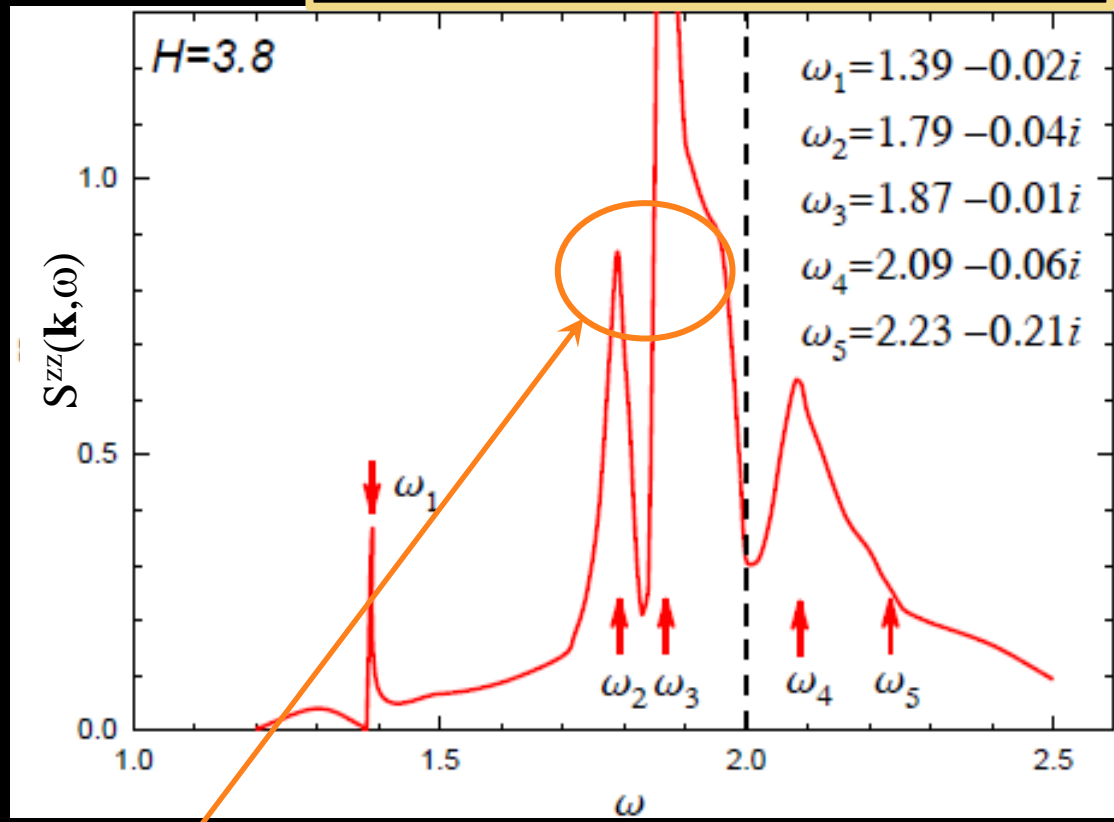
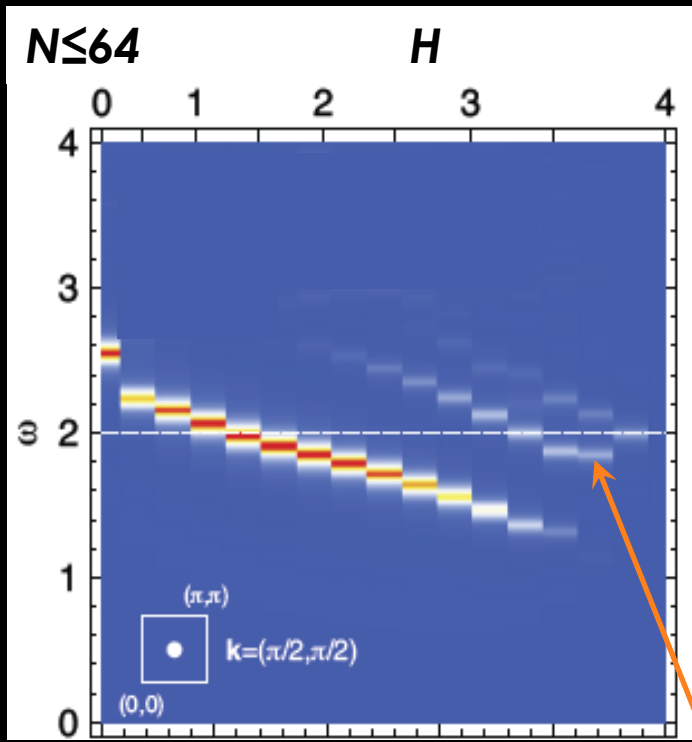
Первый порядок по  $1/n$



# Антиферромагнетик в сильном поле

$$S^{zz}(\mathbf{k}, \omega) = \text{Im} \left( i \int_0^{\infty} dt e^{i\omega t} \langle [S_{\mathbf{k}}^z(t), S_{-\mathbf{k}}^z(0)] \rangle \right)$$

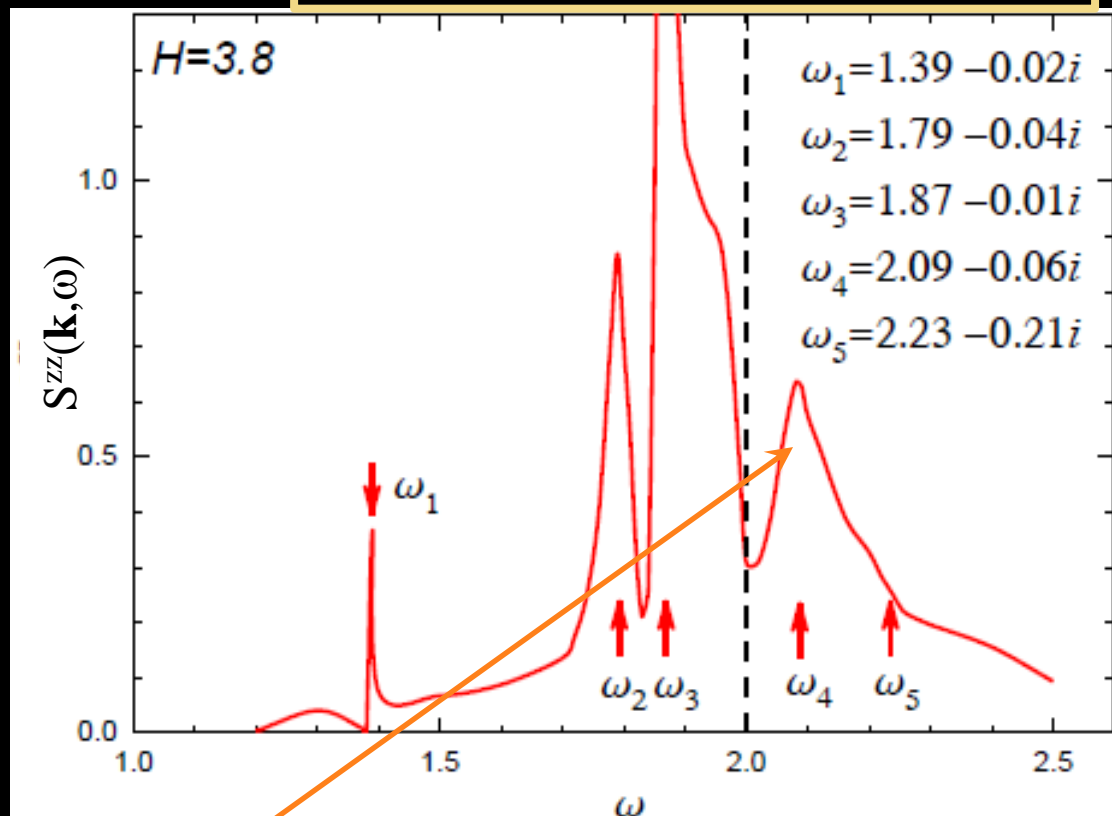
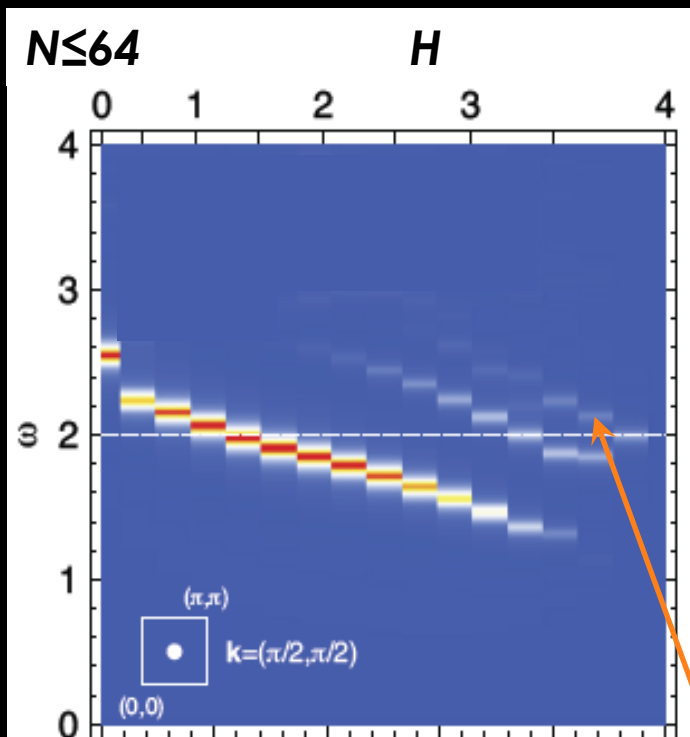
Первый порядок по  $1/n$



# Антиферромагнетик в сильном поле

$$S^{zz}(\mathbf{k}, \omega) = \text{Im} \left( i \int_0^{\infty} dt e^{i\omega t} \langle [S_{\mathbf{k}}^z(t), S_{-\mathbf{k}}^z(0)] \rangle \right)$$

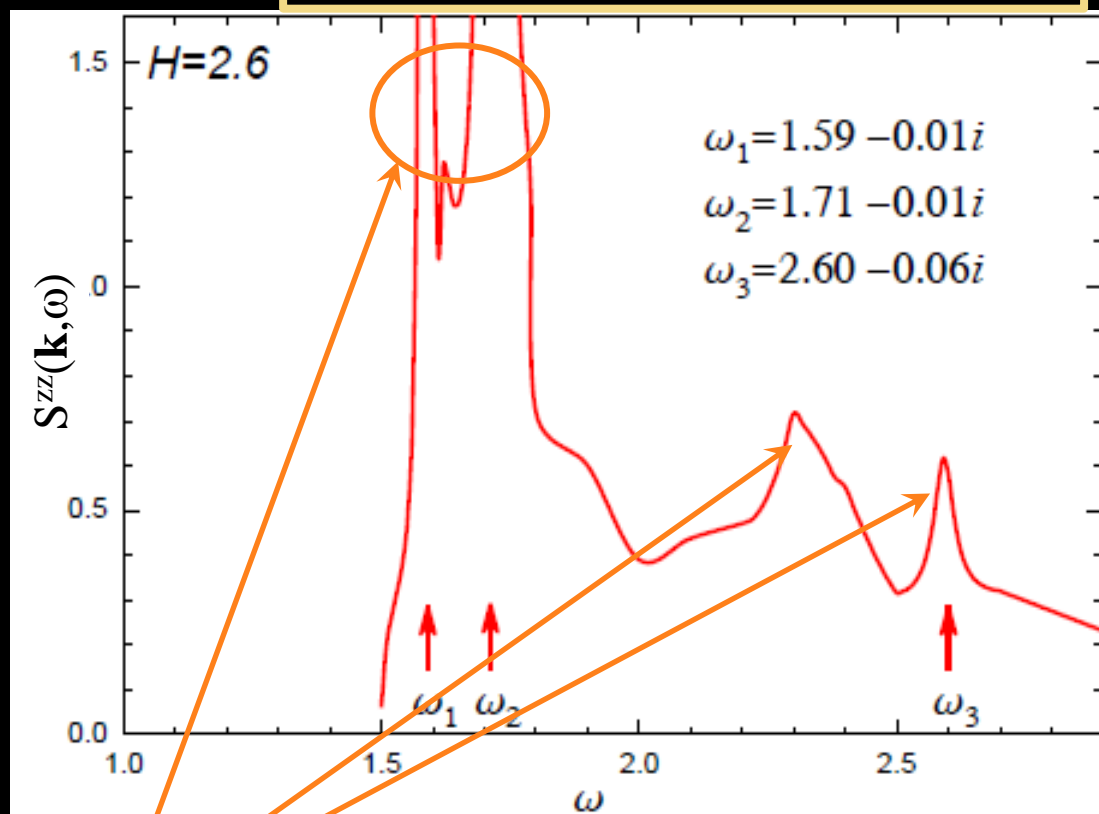
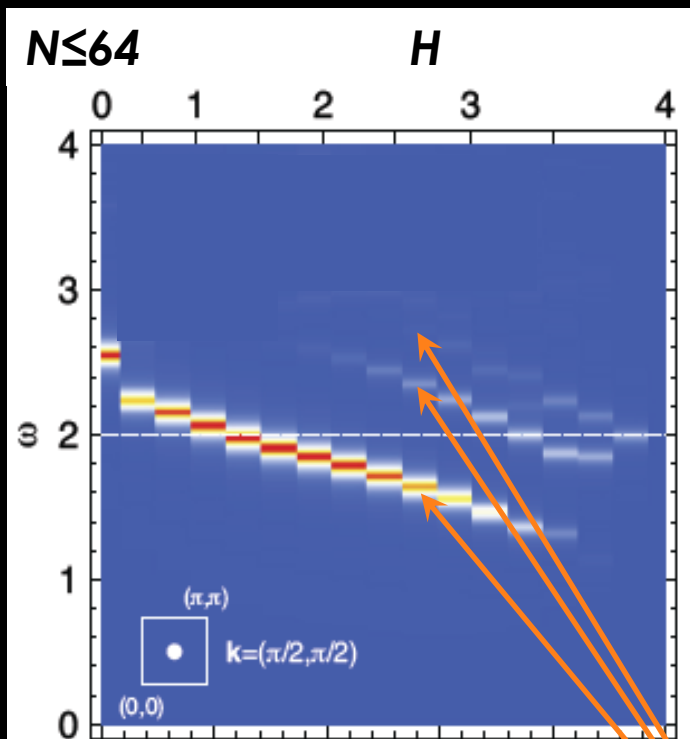
Первый порядок по  $1/n$



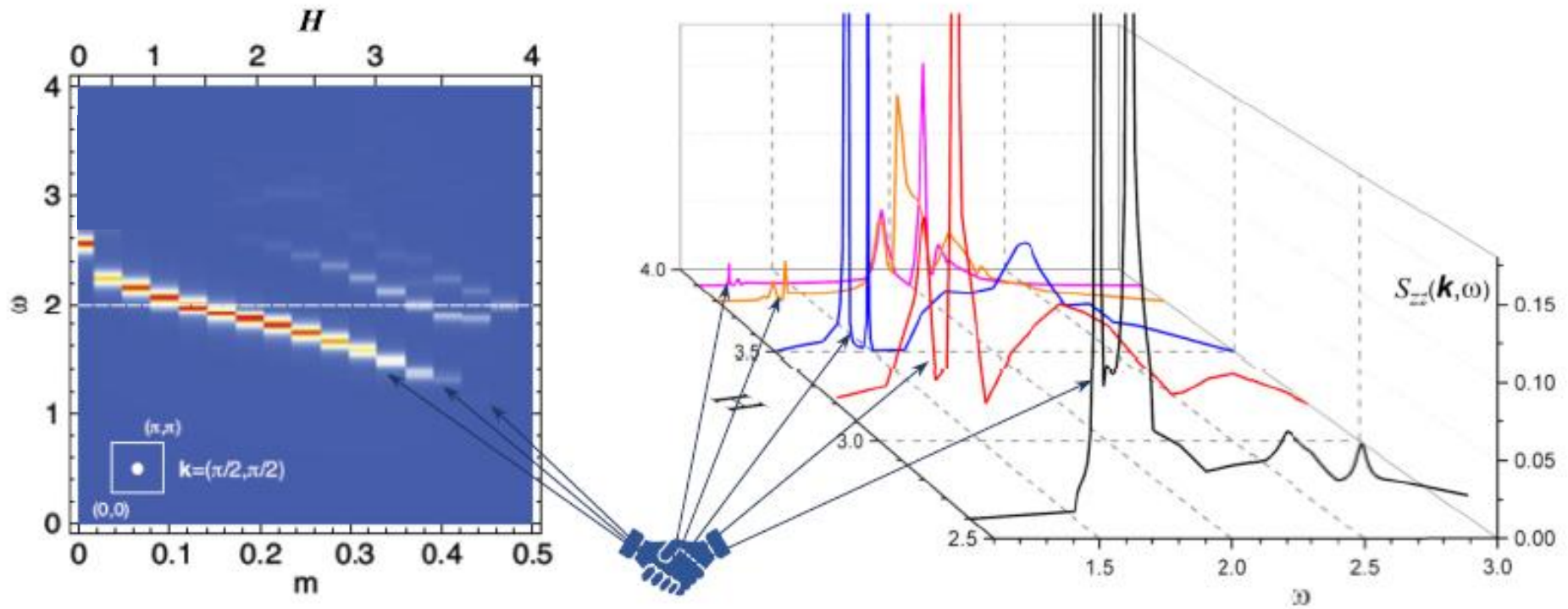
# Антиферромагнетик в сильном поле

$$S^{zz}(\mathbf{k}, \omega) = \text{Im} \left( i \int_0^{\infty} dt e^{i\omega t} \langle [S_{\mathbf{k}}^z(t), S_{-\mathbf{k}}^z(0)] \rangle \right)$$

Первый порядок по  $1/n$

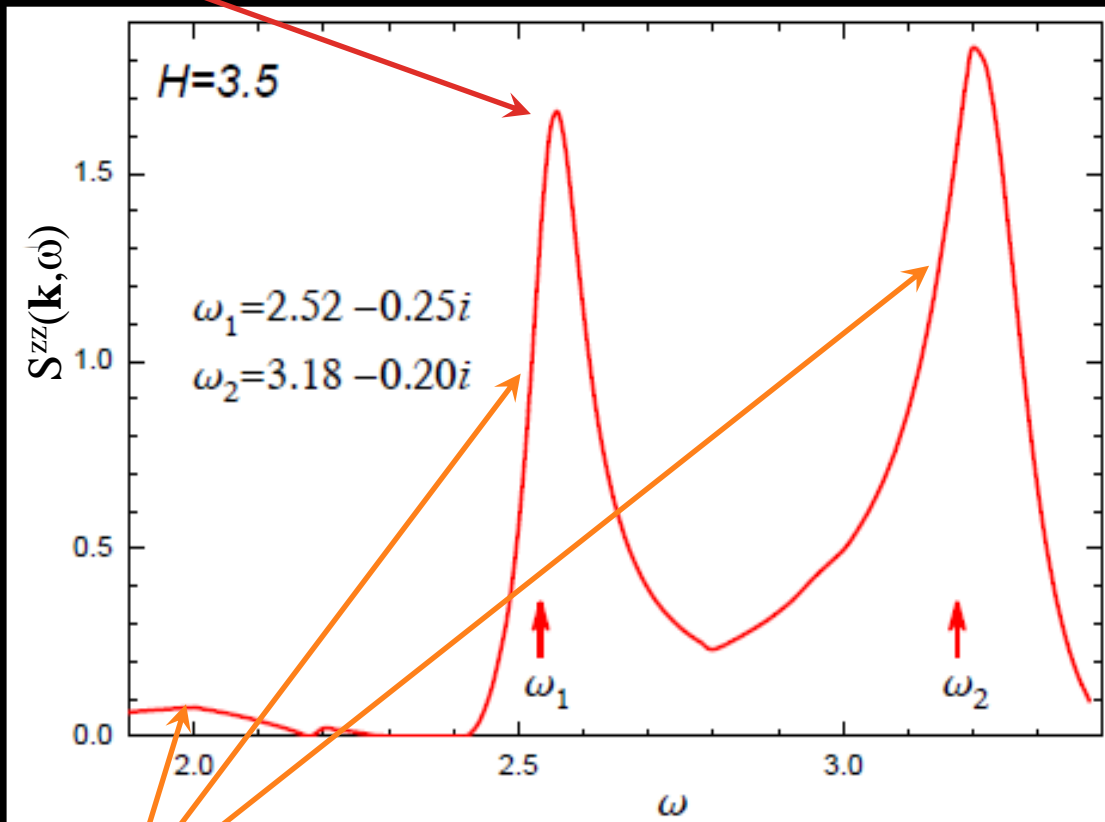
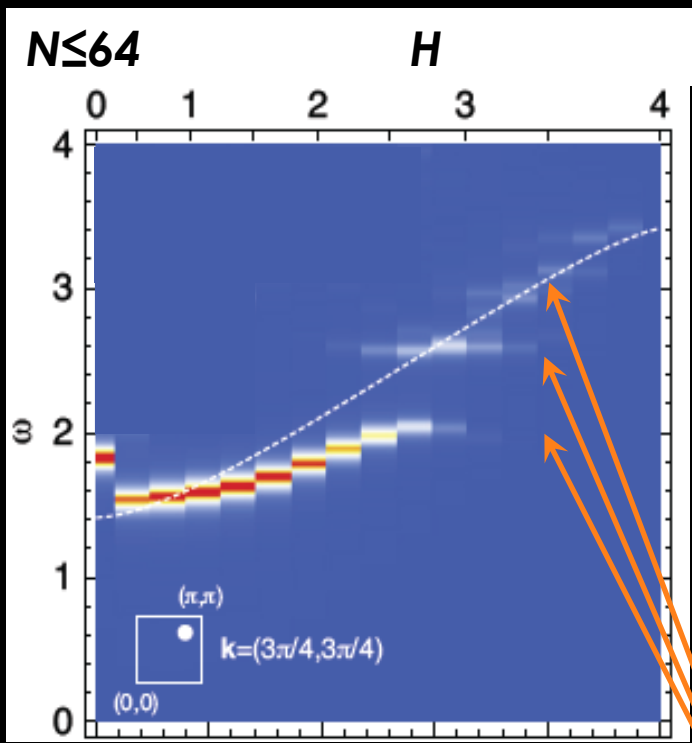


# Антиферромагнетик в сильном поле



# Антиферромагнетик в сильном поле

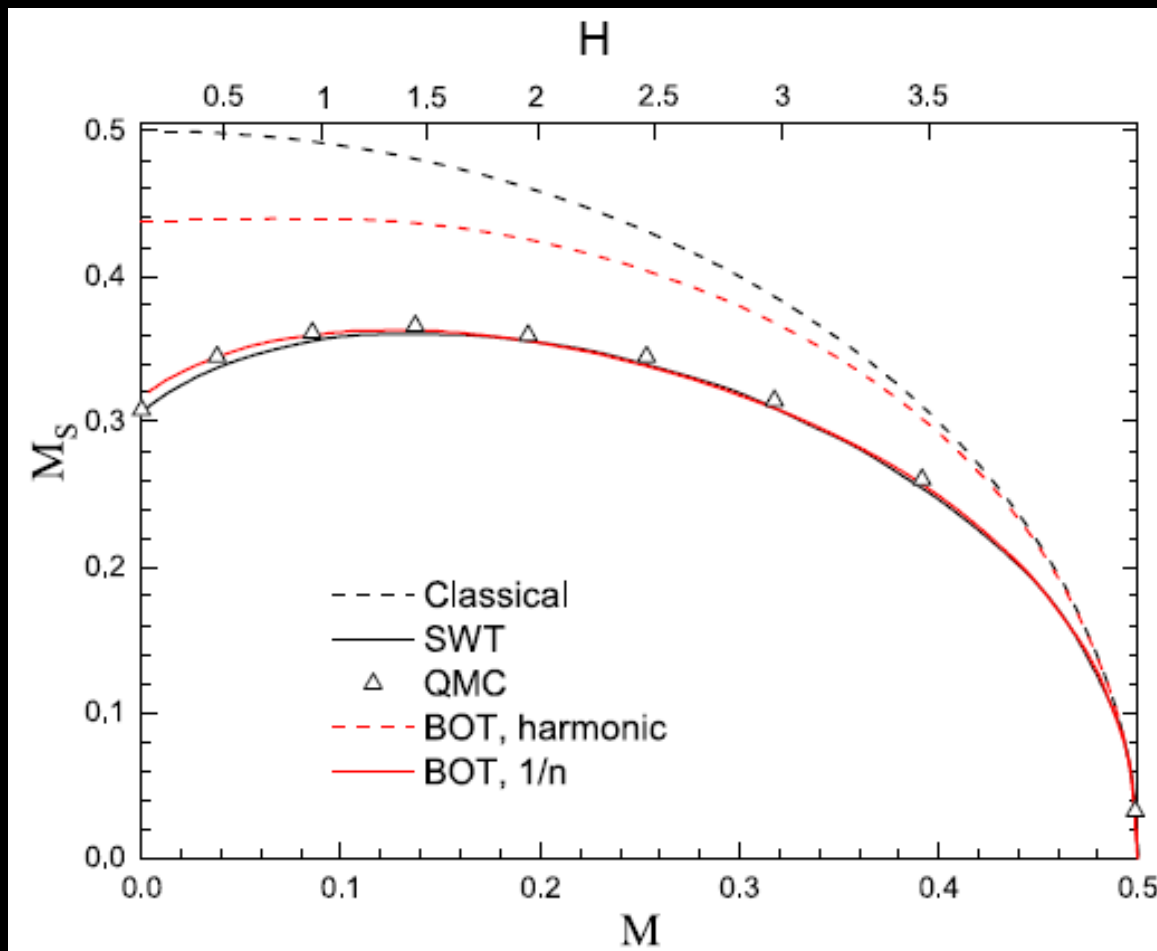
“немагنونная” мода, происходящая от моды Хиггса при  $H=0$



Первый порядок по  $1/n$



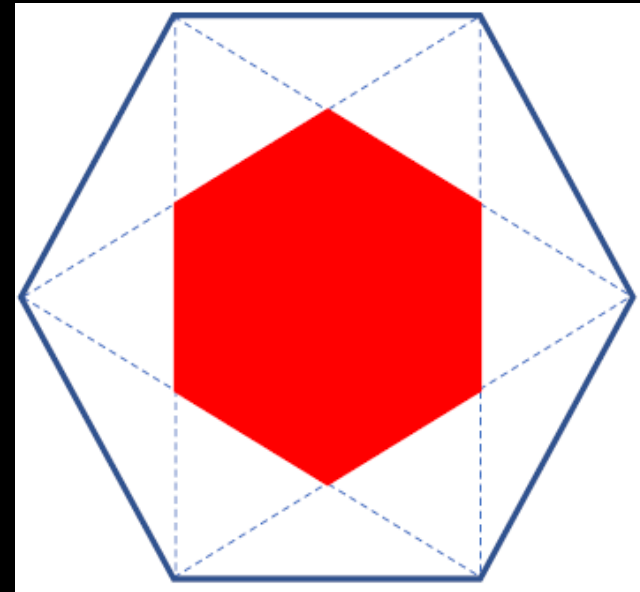
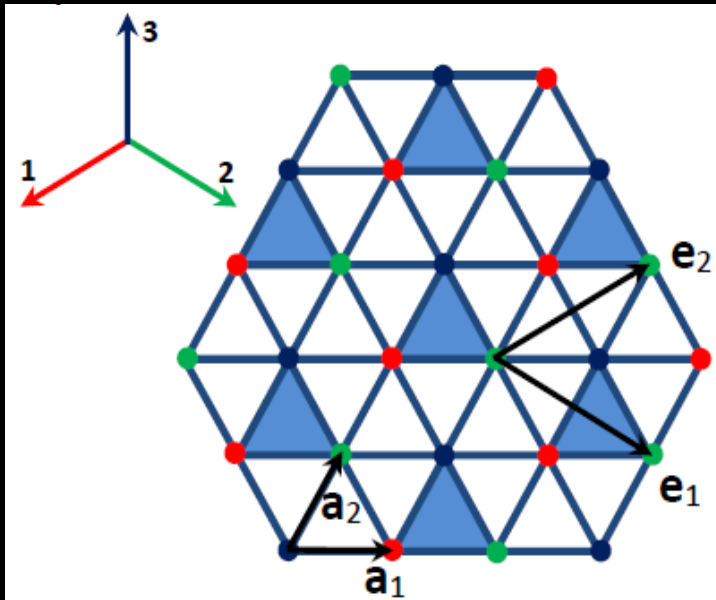
# Статические свойства





# Антиферромагнетик на треугольной решетке. Три спина в ячейке.

$$\mathcal{H} = J \sum_{\langle ij \rangle} \mathbf{S}_i \mathbf{S}_j$$



$$\chi(\mathbf{k}, \omega) = i \int_0^{\infty} dt e^{i\omega t} \langle [\mathbf{S}_{\mathbf{k}}(t), \mathbf{S}_{-\mathbf{k}}(0)] \rangle$$

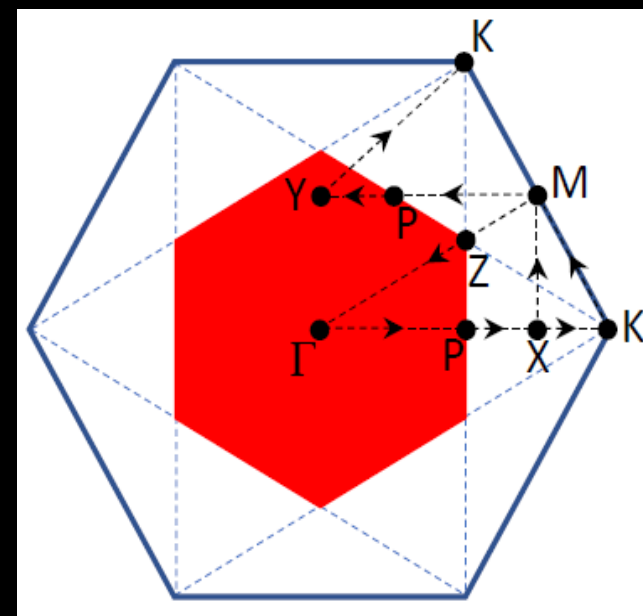
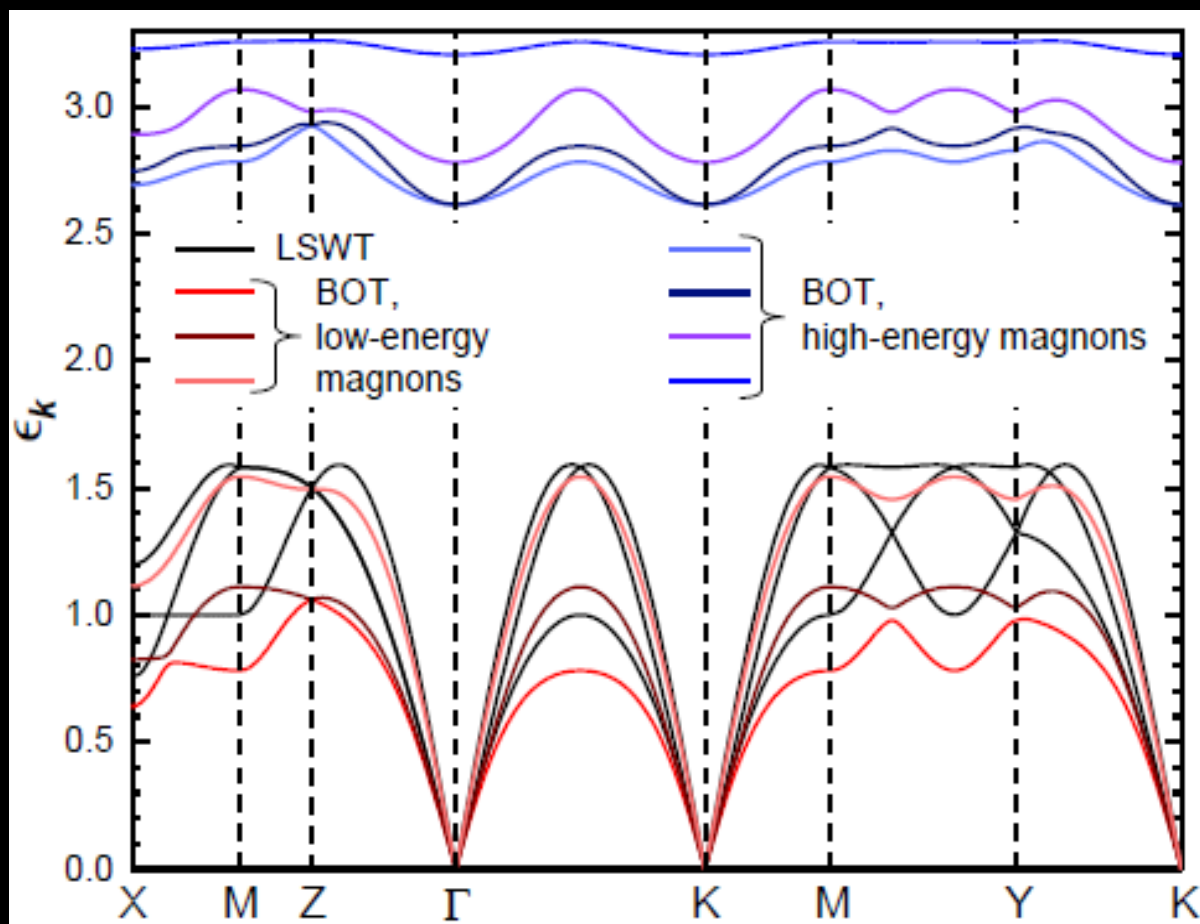
# Антиферромагнетик на треугольной решетке

$2^3 - 1 = 7$  бозонов:

3 бозона – «обычные» магнаны

4 бозона – другие квазичастицы

Гармоническое приближение

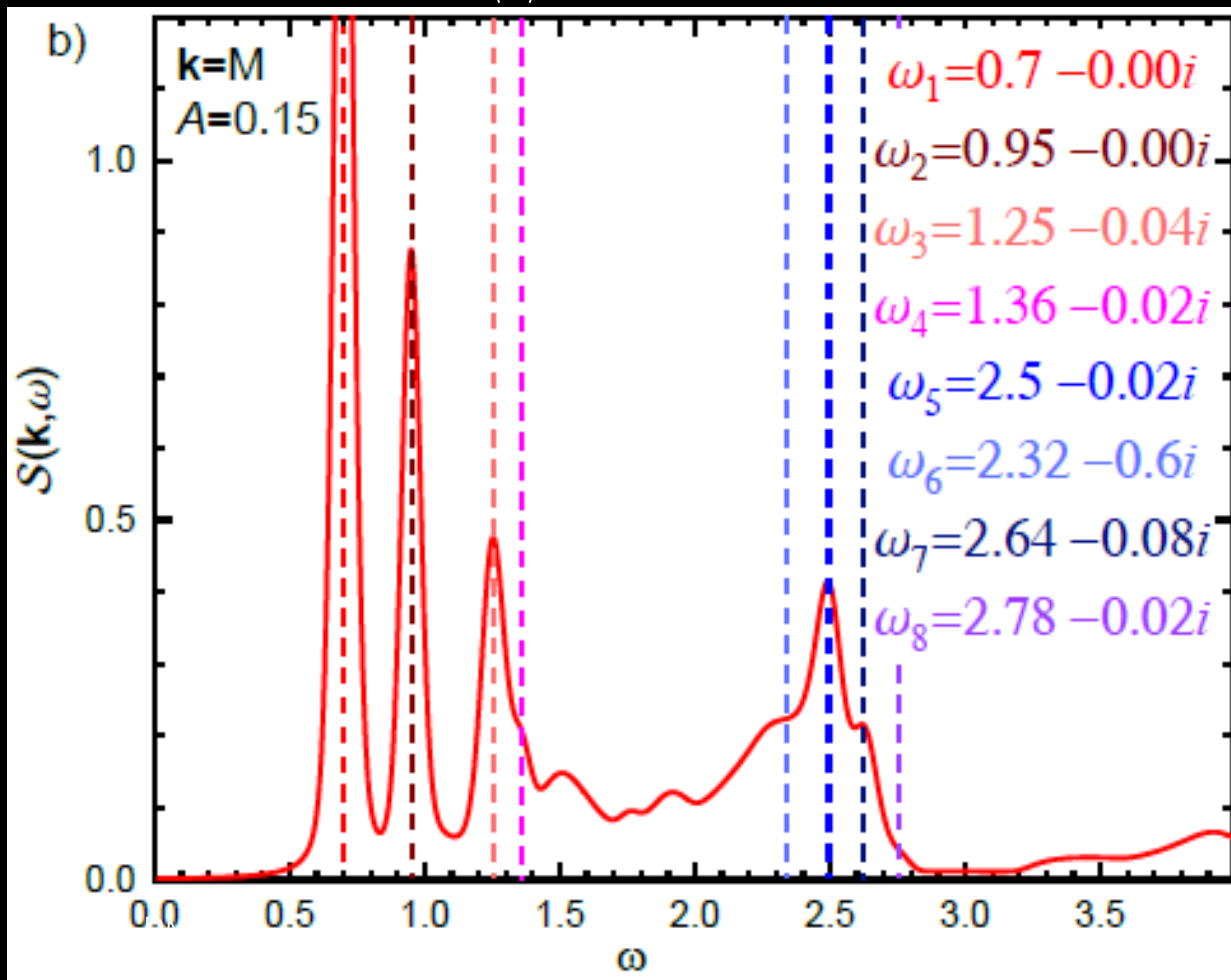


# Антиферромагнетик на треугольной решетке

Первый порядок по  $1/n$

$$\mathcal{H} = \sum_{\langle ij \rangle} (\mathbf{S}_i \mathbf{S}_j - A S_i^y S_j^y)$$

$A = 0.15$



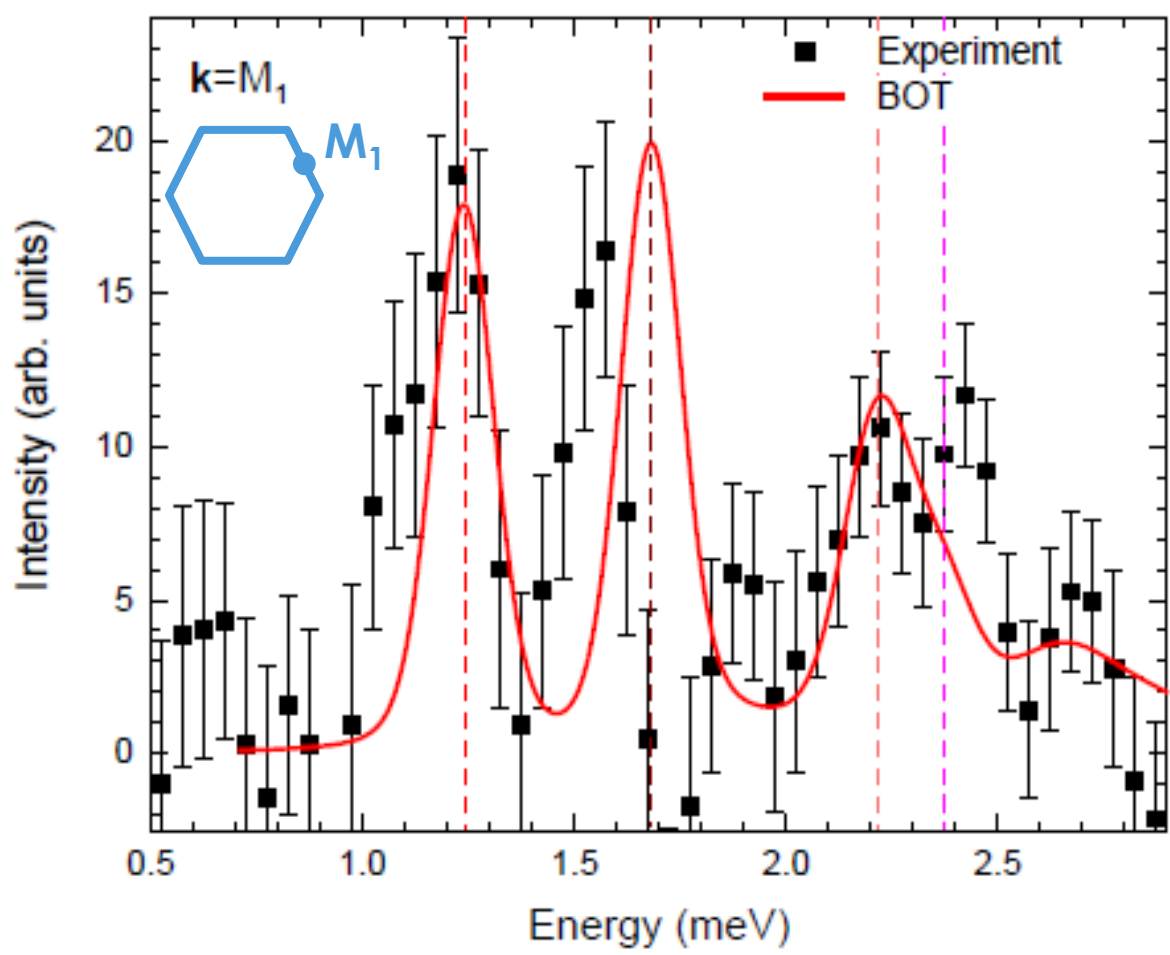
НОВЫЙ ПОЛЮС  
 $D(\mathbf{k}, \omega, \{\Sigma(\mathbf{k}, \omega)\}) = 0$

# Антиферромагнетик на треугольной решетке. Сравнение с экспериментом.

$$\mathcal{H} = \sum_{\langle ij \rangle} J \left( \mathbf{S}_i \mathbf{S}_j - A S_i^y S_j^y \right)$$

$$A = 0.15$$

$$J = 1.77 \text{ meV}$$

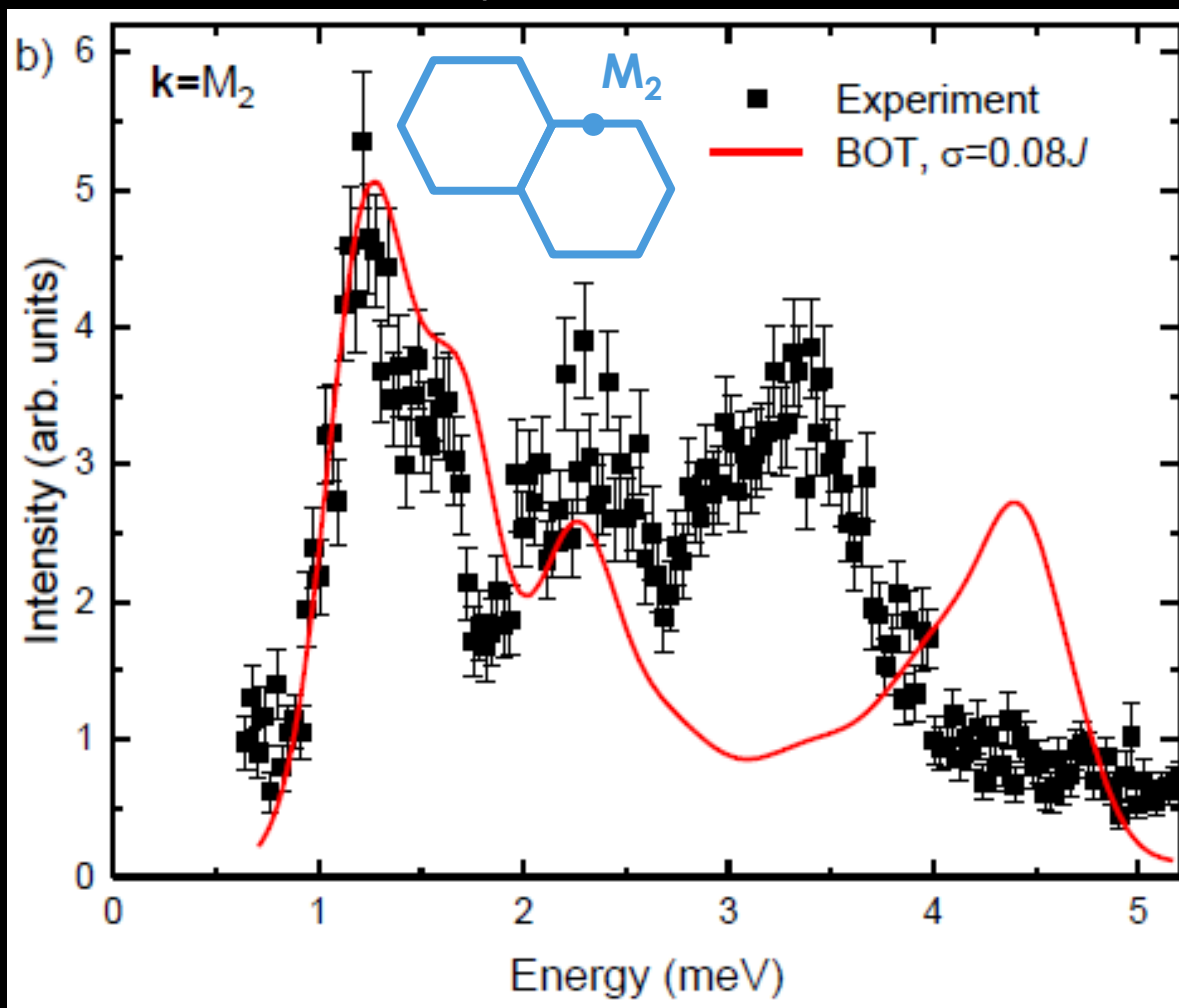


Нейтронный  
эксперимент в  
 $\text{Ba}_3\text{CoSb}_2\text{O}_9$

J. Ma et al.,  
PRL **116**, 087201 (2016)

# Антиферромагнетик на треугольной решетке. Сравнение с экспериментом.

$$S(\mathbf{k}, \omega) = \text{Im} \sum_{\alpha, \beta} \left( \delta_{\alpha\beta} - k_{\alpha} k_{\beta} / k^2 \right) \chi_{\alpha\beta}(\mathbf{k}, \omega) \quad \alpha, \beta = x, y, z$$



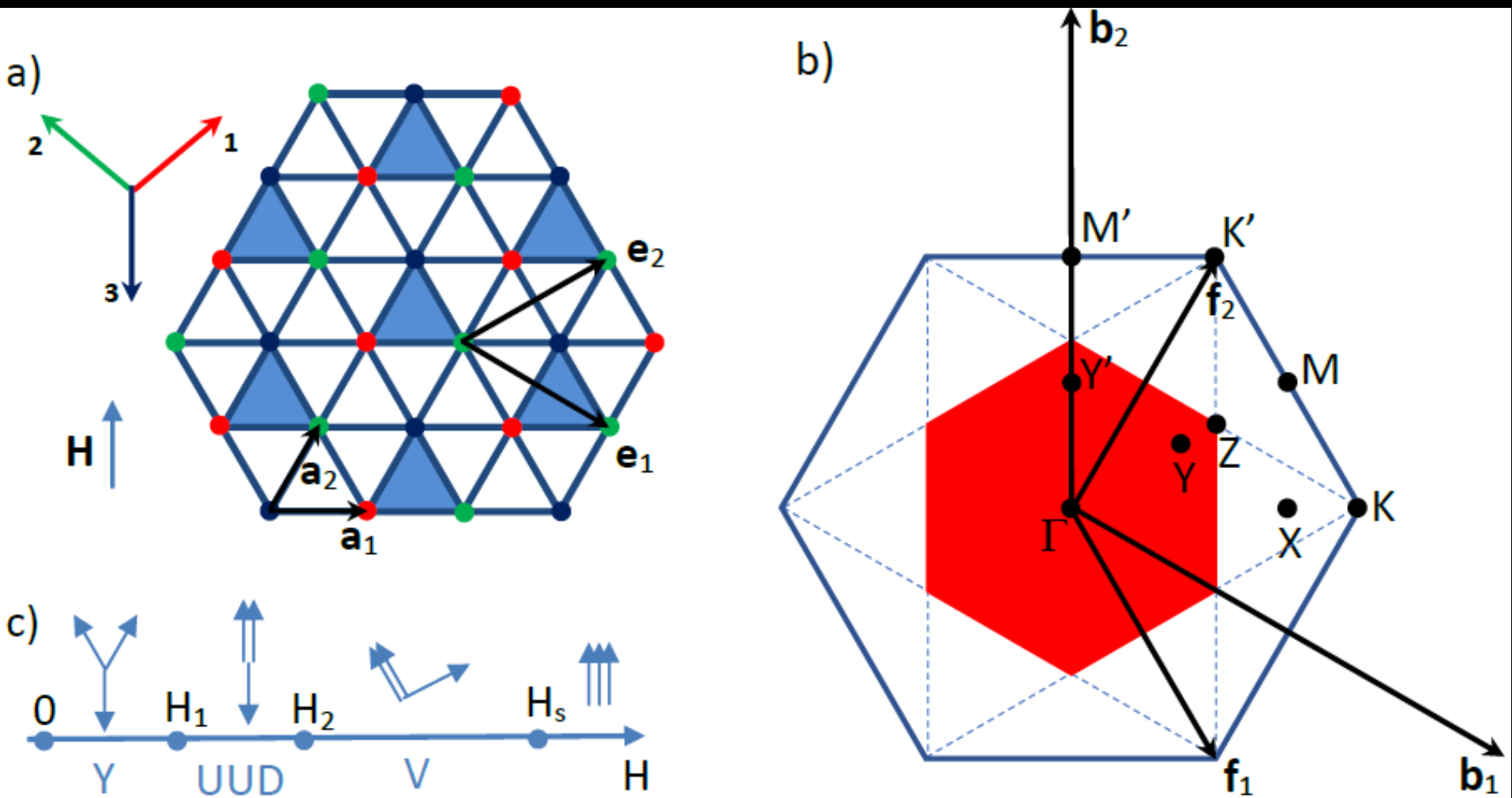
Нейтронный  
эксперимент в  
 $\text{Ba}_3\text{CoSb}_2\text{O}_9$

S. Ito et al.,  
Nature Communications  
8, 235 (2017)

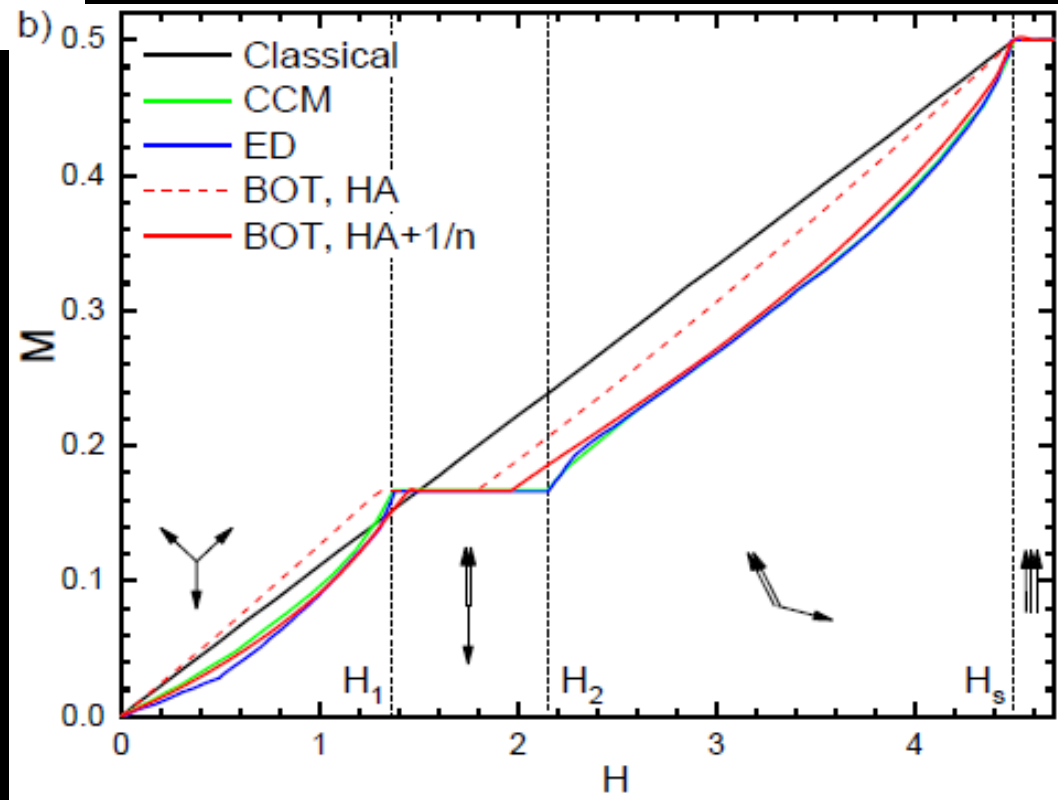
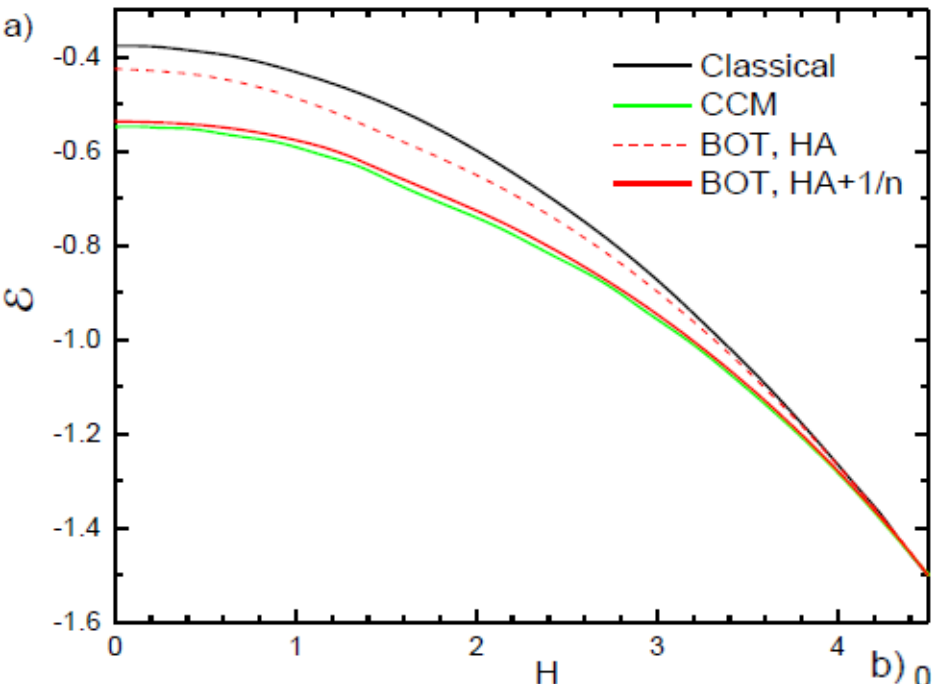
AS, PRB **105**, 144414 (2022)

# Антиферромагнетик на треугольной решетке в поле

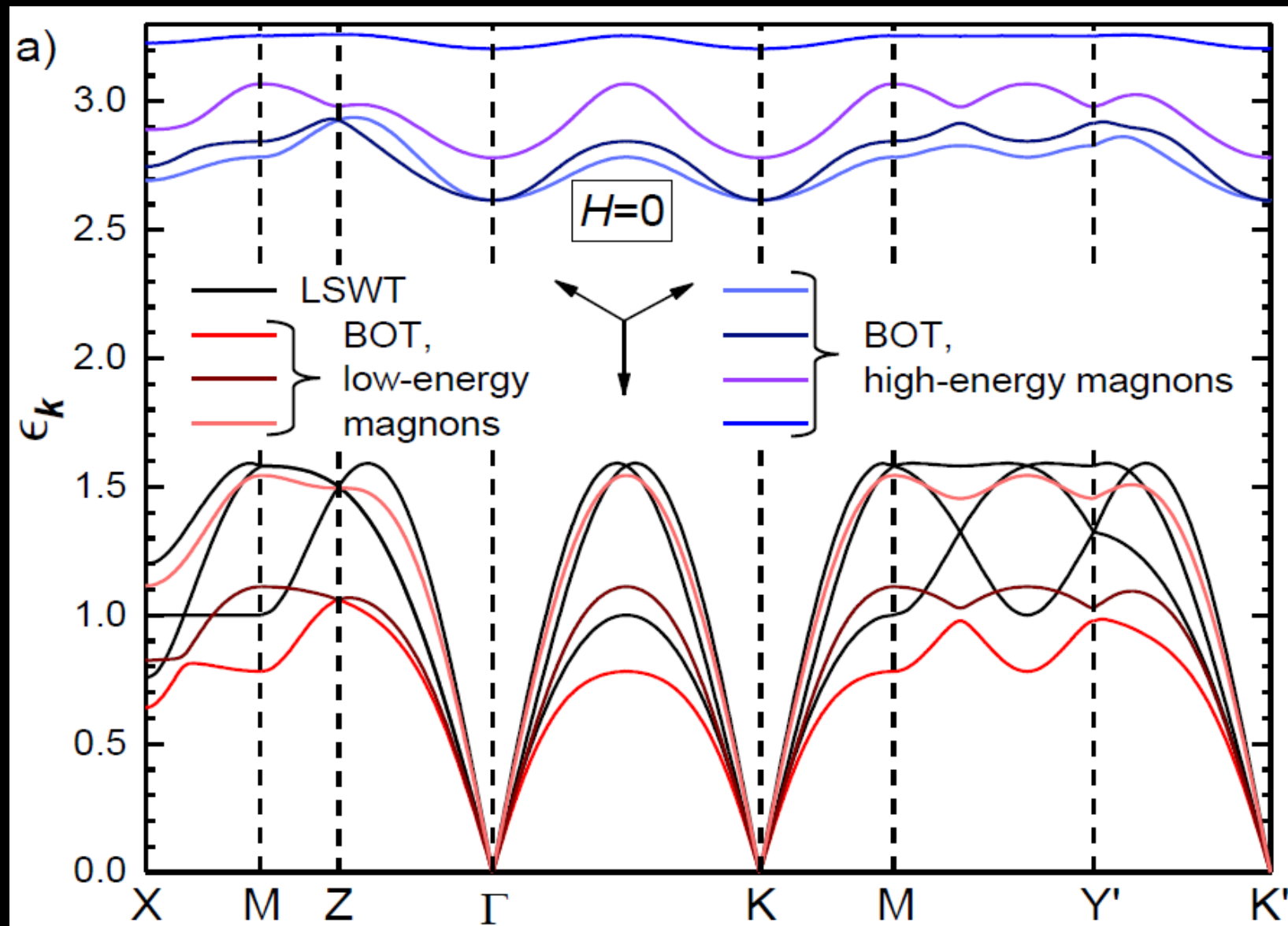
$$\mathcal{H} = \frac{1}{2} \sum_{i,j} J_{ij} \mathbf{S}_i \mathbf{S}_j - H \sum_i S_i^z$$



# СТАТИЧЕСКИЕ СВОЙСТВА

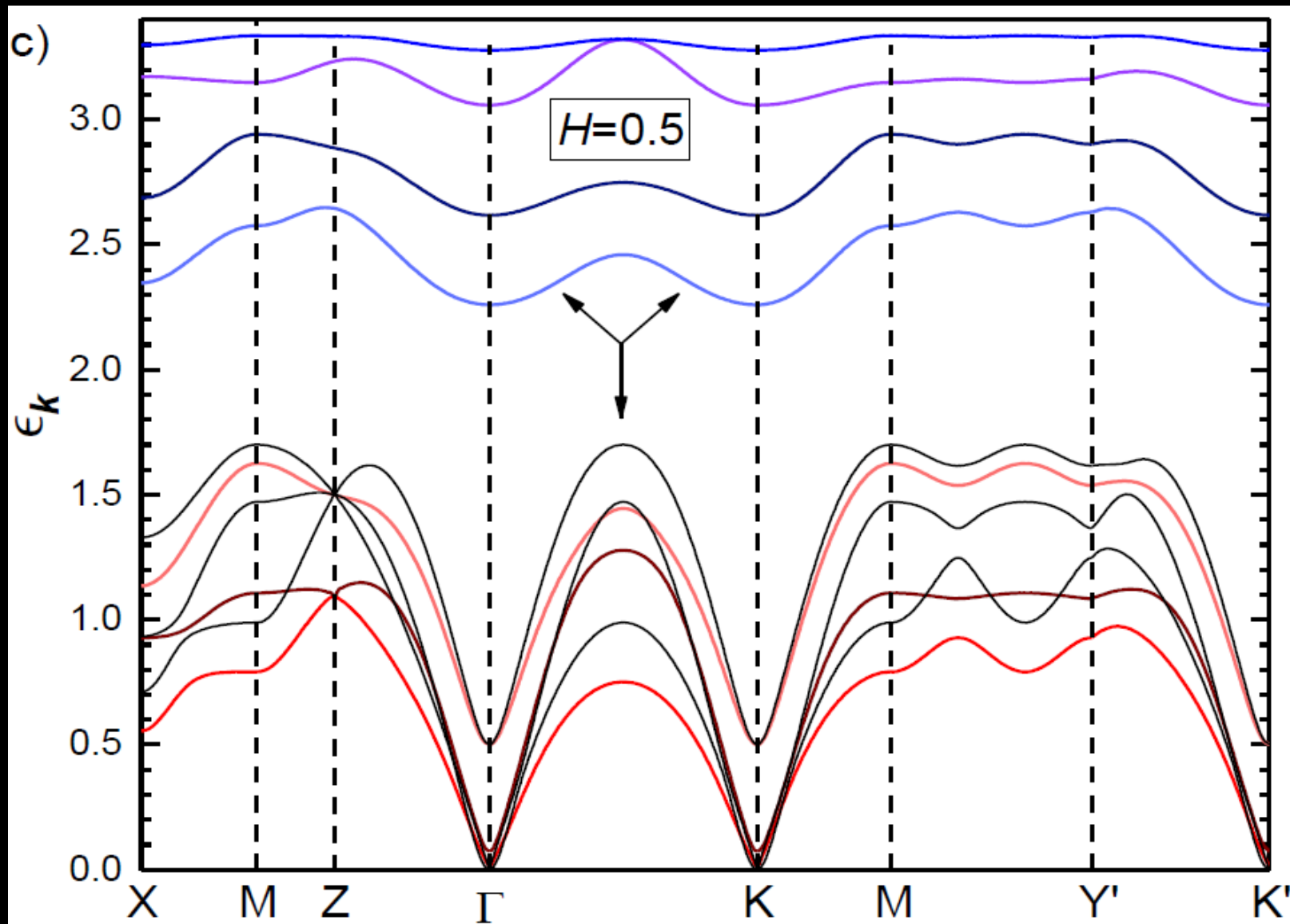


# ДИНАМИЧЕСКИЕ СВОЙСТВА. ГАРМОНИЧЕСКОЕ ПРИБЛИЖЕНИЕ.

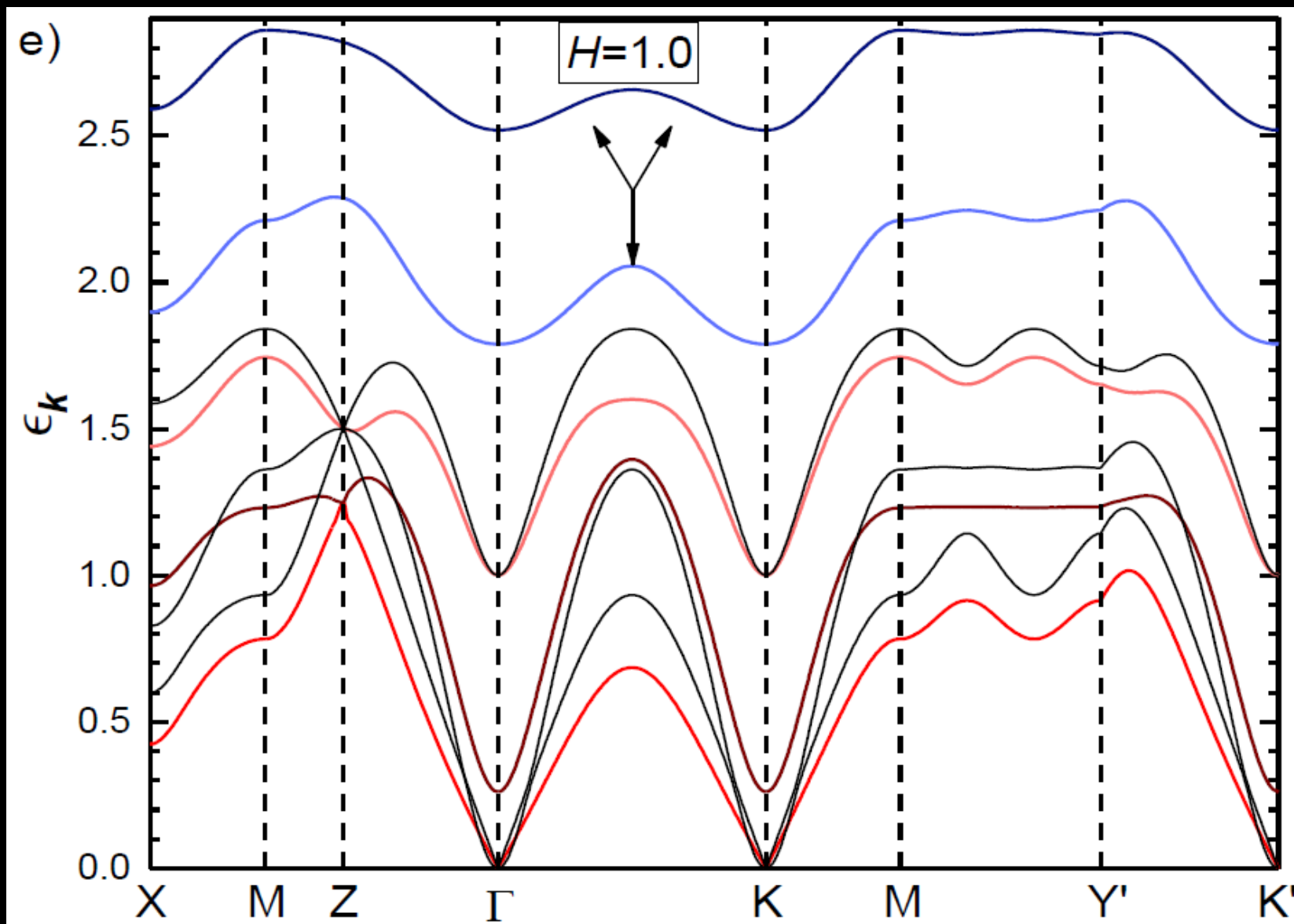




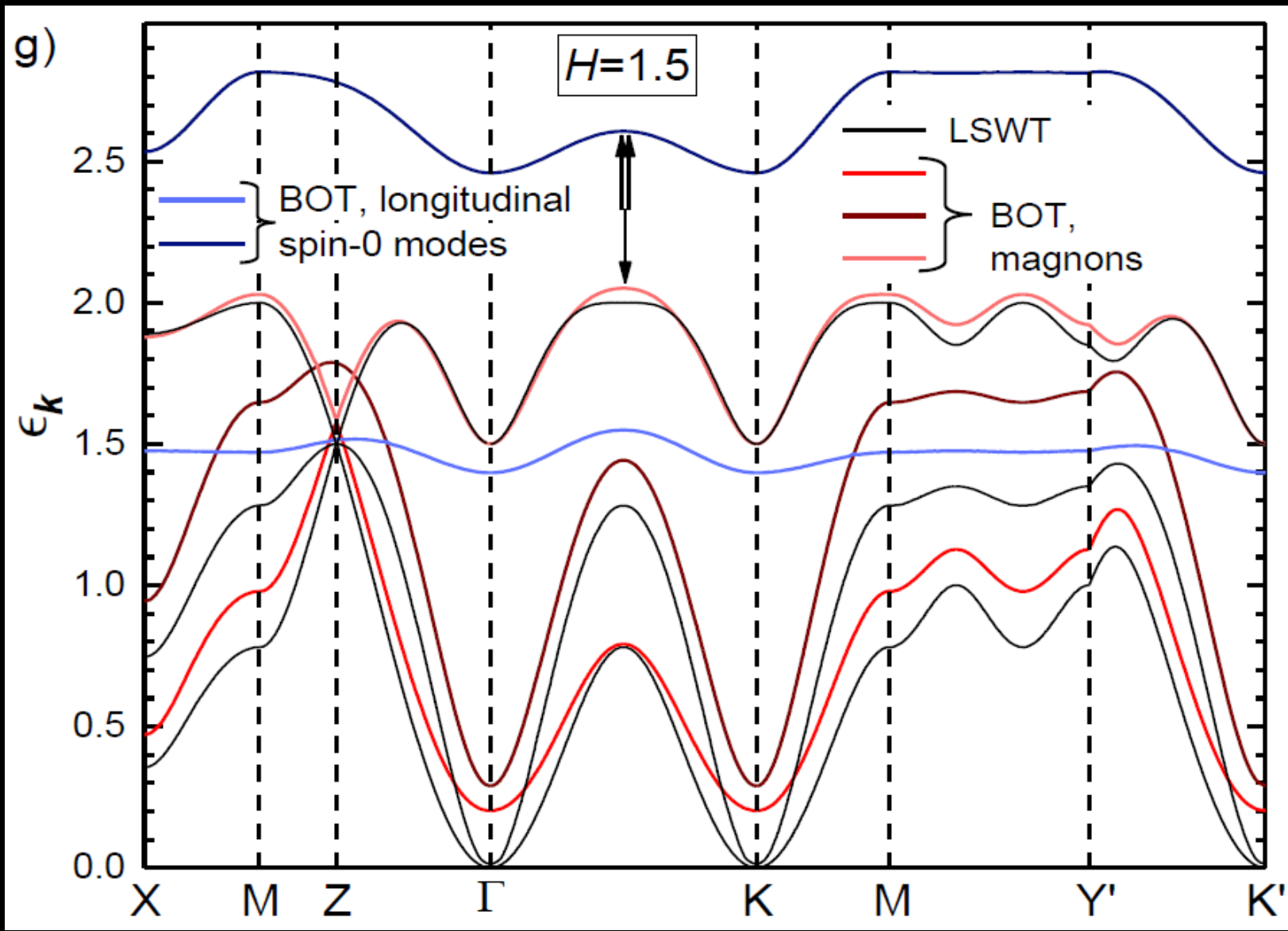
# ДИНАМИЧЕСКИЕ СВОЙСТВА. ГАРМОНИЧЕСКОЕ ПРИБЛИЖЕНИЕ.



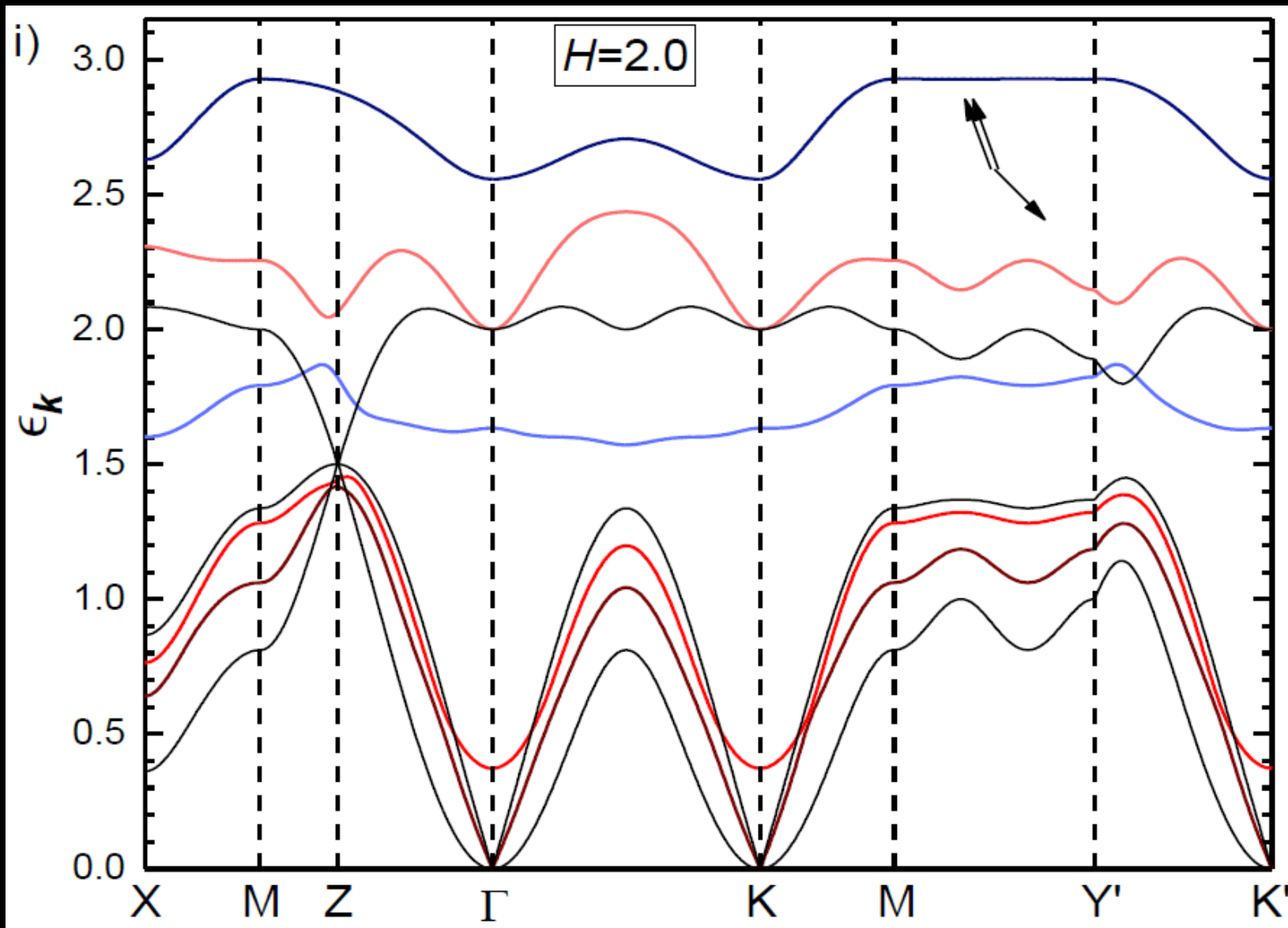
# ДИНАМИЧЕСКИЕ СВОЙСТВА. ГАРМОНИЧЕСКОЕ ПРИБЛИЖЕНИЕ.



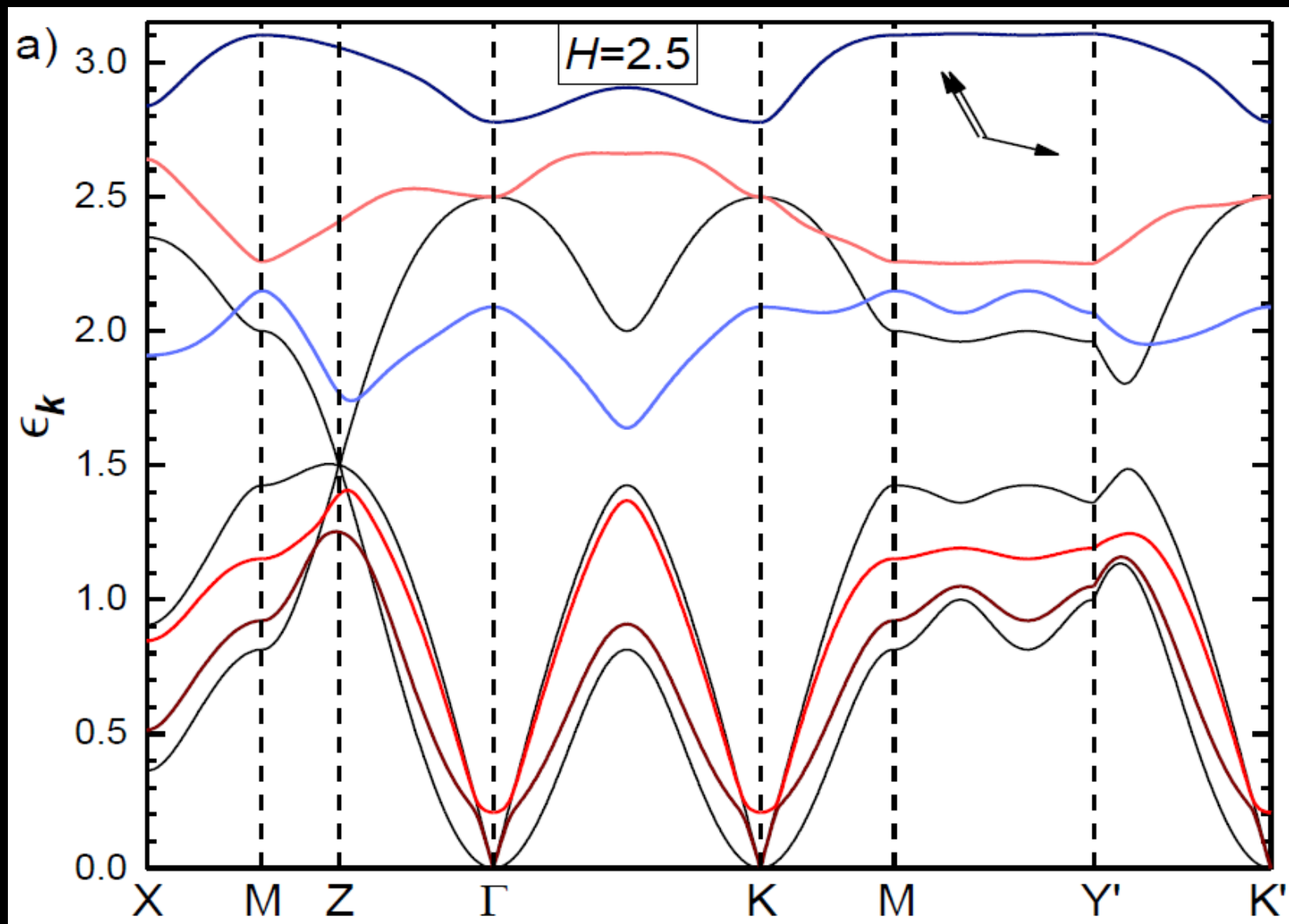
# ДИНАМИЧЕСКИЕ СВОЙСТВА. ГАРМОНИЧЕСКОЕ ПРИБЛИЖЕНИЕ.



# ДИНАМИЧЕСКИЕ СВОЙСТВА. ГАРМОНИЧЕСКОЕ ПРИБЛИЖЕНИЕ.

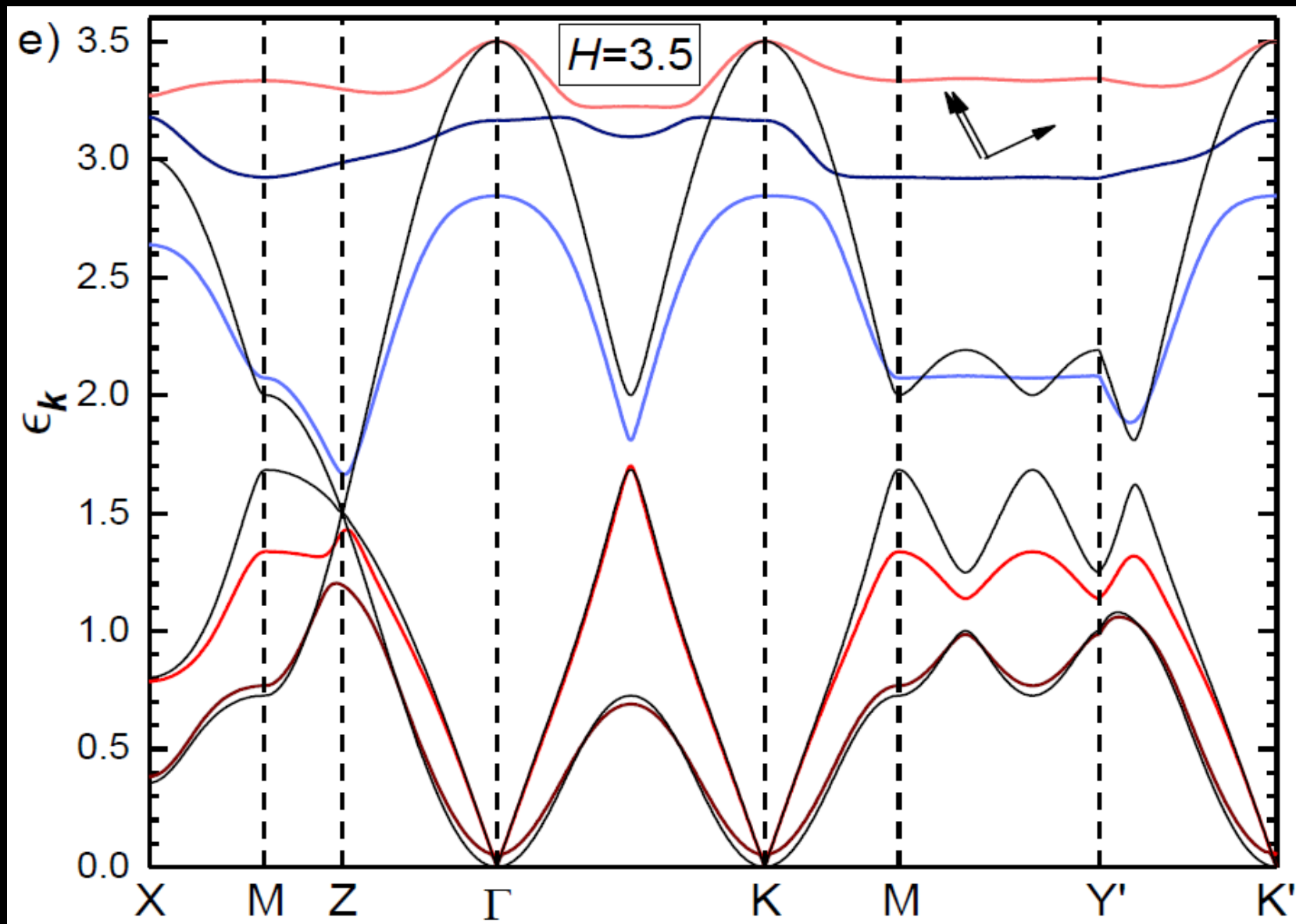


# ДИНАМИЧЕСКИЕ СВОЙСТВА. ГАРМОНИЧЕСКОЕ ПРИБЛИЖЕНИЕ.

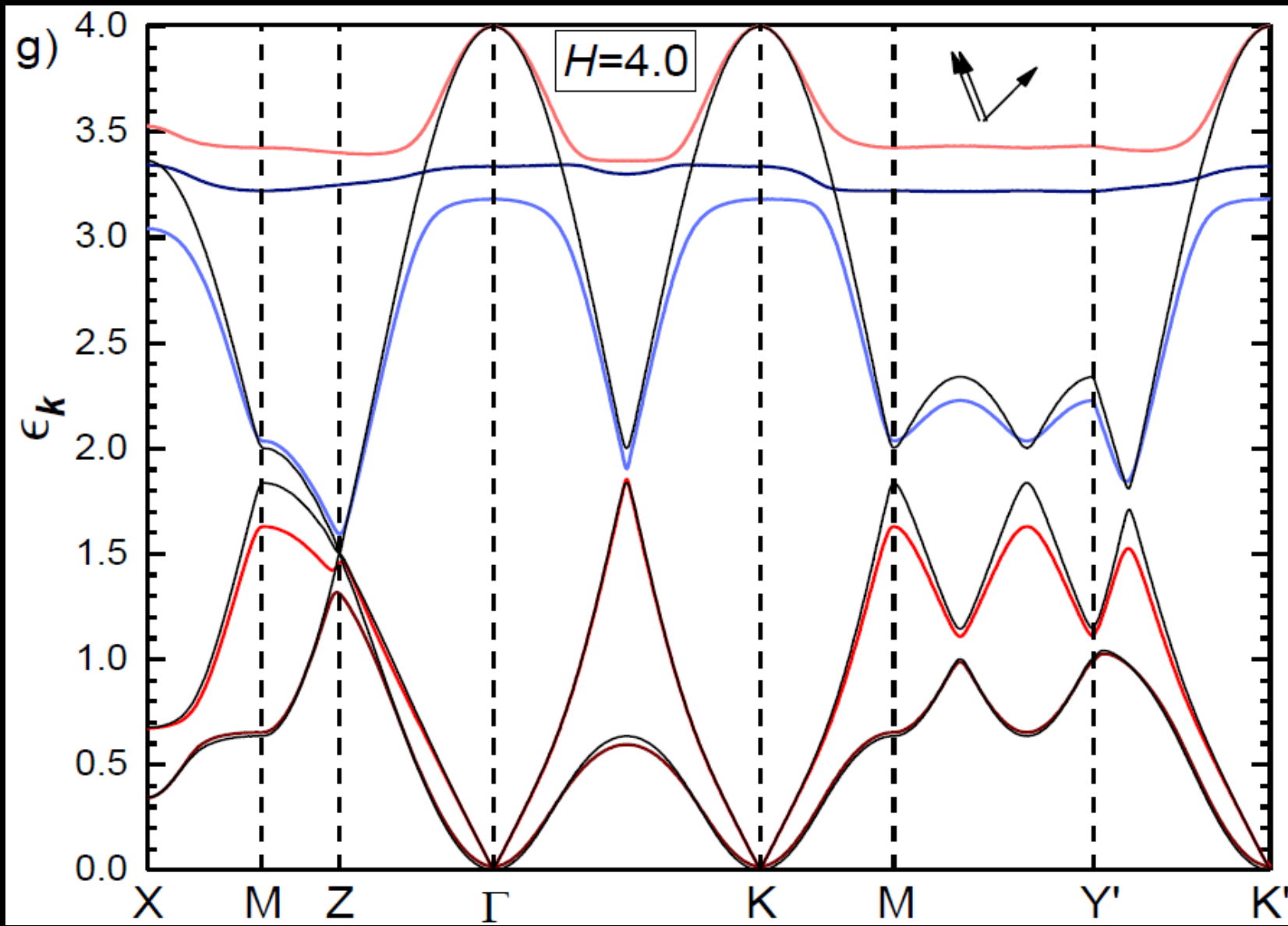




# ДИНАМИЧЕСКИЕ СВОЙСТВА. ГАРМОНИЧЕСКОЕ ПРИБЛИЖЕНИЕ.

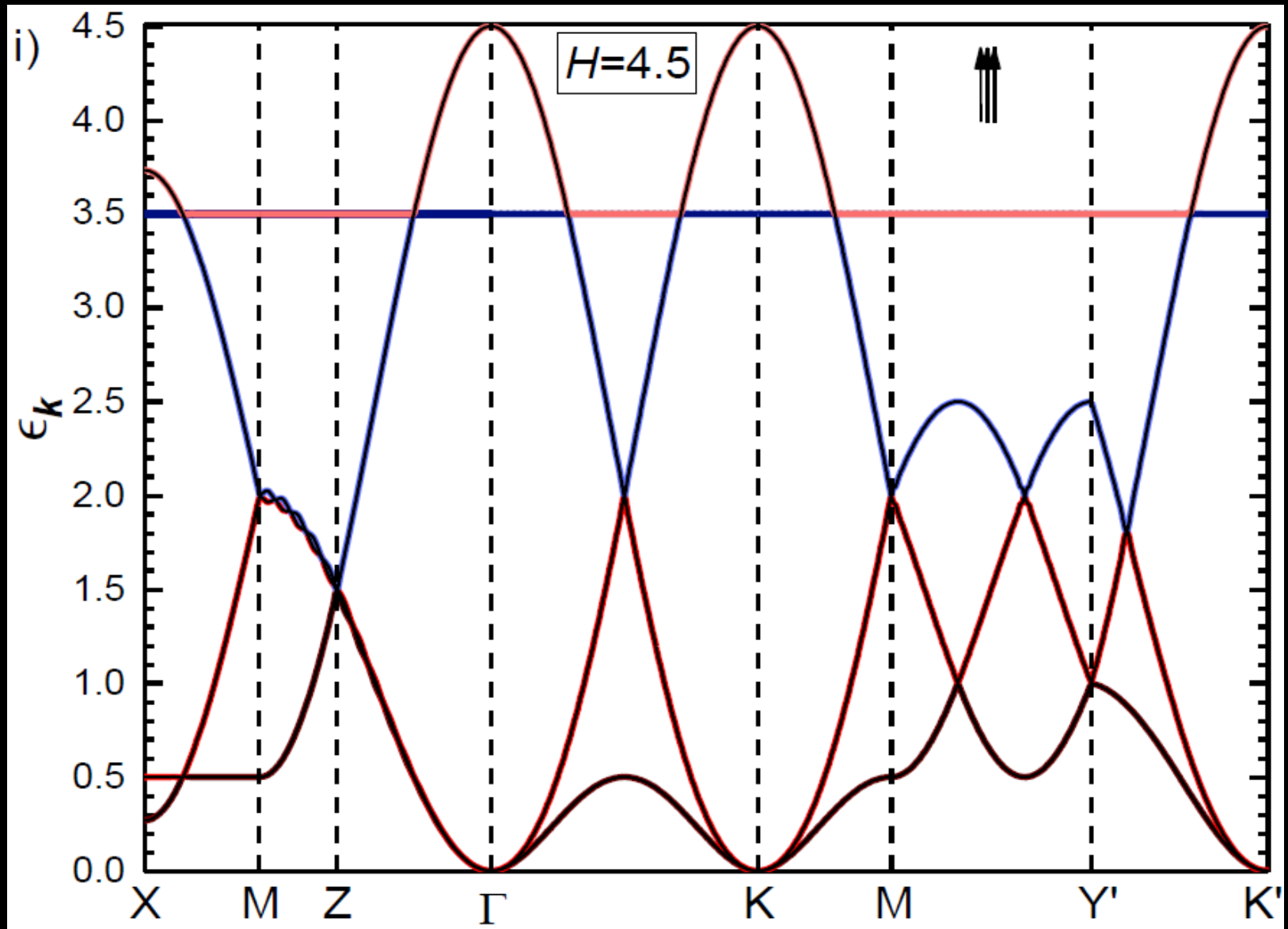


# ДИНАМИЧЕСКИЕ СВОЙСТВА. ГАРМОНИЧЕСКОЕ ПРИБЛИЖЕНИЕ.

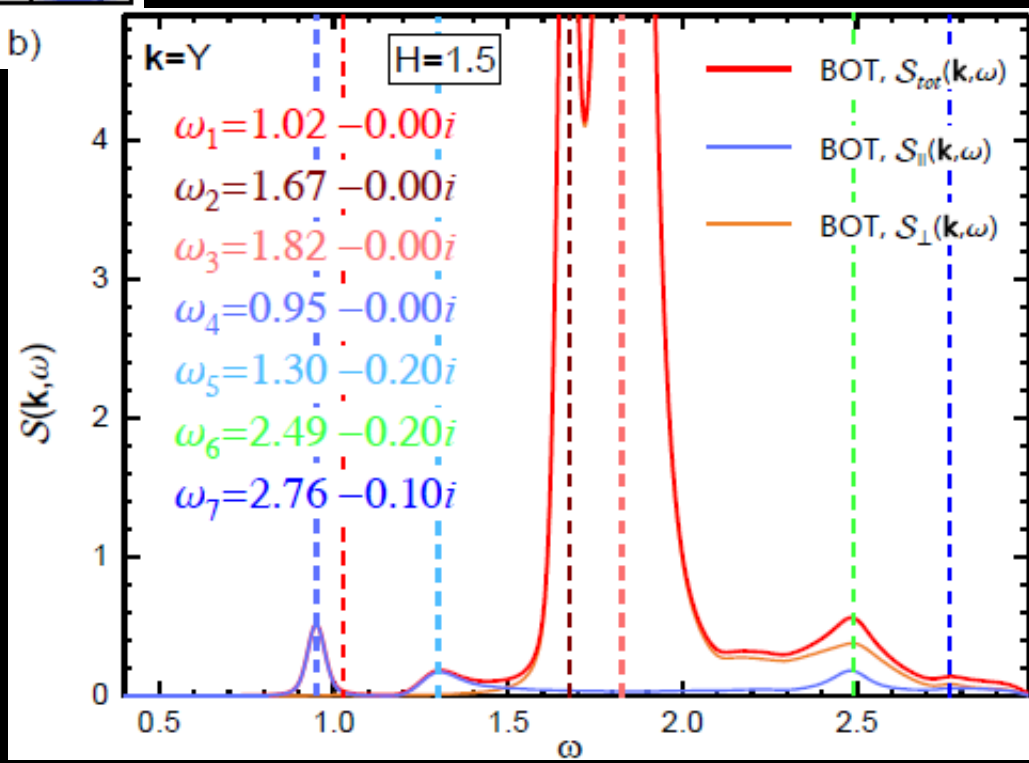
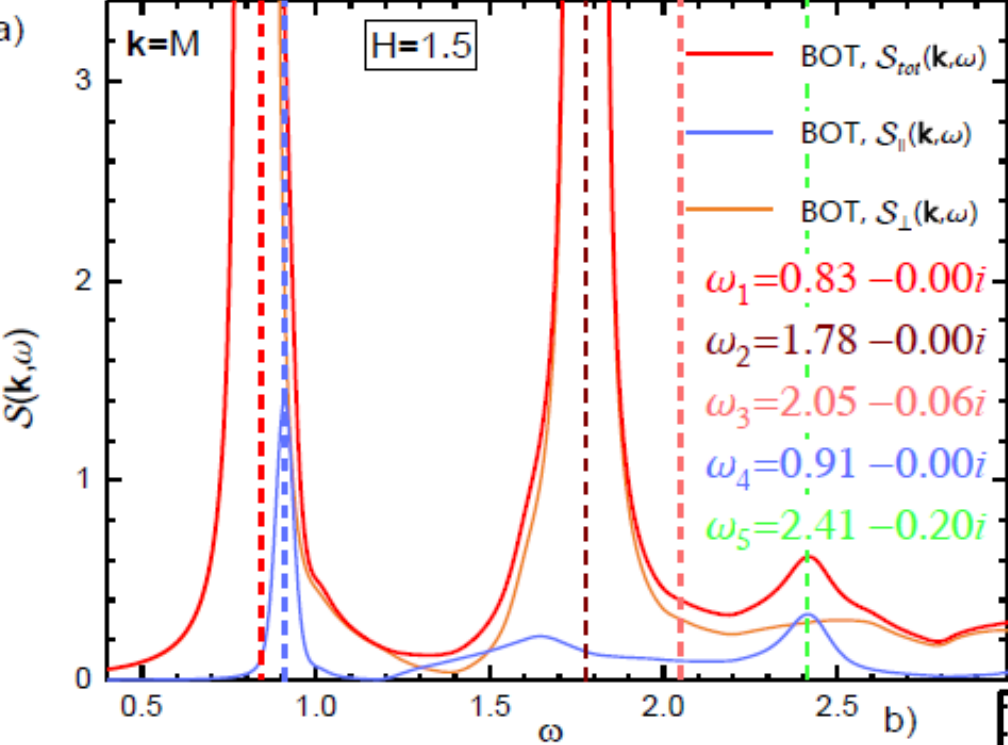




# ДИНАМИЧЕСКИЕ СВОЙСТВА. ГАРМОНИЧЕСКОЕ ПРИБЛИЖЕНИЕ.



# Первый порядок по $1/n$



# Основные преимущества КПСО

- ✓ Очень похоже на спин-волновую теорию:
  - Параметр разложения  $1/n$  (физические результаты соответствуют  $n=1$ )
  - Первые поправки по  $1/n$  очень часто оказываются главными и вносят основной вклад в перенормировку наблюдаемых
- ✓ Увеличение «зоопарка» элементарных возбуждений и довольно точное их описание
- ✓ Подходит для описания как упорядоченных, так и неупорядоченных фаз
- ✓ Правильное число голдстоуновских (бесщелевых) мод в любом порядке по  $1/n$
- ✓ Процедура работает при любом числе спинов в элем. ячейке
- ✓ Существенно стандартное описание переходов в некоторые экзотические фазы (например, в спиновый нематик)

## Основные недостатки

Очень громоздкие преобразования



**Спасибо за внимание!**